

**SINTESIS NANOPARTIKEL MANGAN DIOKSIDA (MnO₂) SECARA
SONOKIMIA SEBAGAI ADSORBEN ION LOGAM TIMBAL (Pb²⁺)**



Skripsi

Diajukan untuk Memenuhi Salah Satu Syarat Meraih Gelar Sarjana Sains
Jurusan Kimia Pada Fakultas Sains dan Teknologi
UIN Alauddin Makassar

Oleh:

UNIVERSITAS ISLAM NEGERI

ANDI WAHYUNI NUR UTAMI

NIM : 60500113044

ALAUDDIN
M A K A S S A R

FAKULTAS SAINS DAN TEKNOLOGI
UNIVERSITAS ISLAM NEGERI ALAUDDIN
MAKASSAR

2017

PERNYATAAN KEASLIAN SKRIPSI

Mahasiswa yang bertanda tangan di bawah ini:

Nama : Andi Wahyuni Nur Utami
NIM : 60500113044
Tempat/Tanggal Lahir : Ujung Pandang, 08 Desember 1995
Fakultas/Jurusan : Sains dan Teknologi/ Kimia
Alamat : Jalan Matahari, Perm Golkar Pangkep.
Judul : Sintesis Nanopartikel Mangan Dioksida (MnO_2)
Sebagai Adsorben Ion Logam Timbal (Pb^{2+})

Menyatakan dengan sesungguhnya dan penuh kesadaran bahwa skripsi ini benar adalah karya sendiri. Jika dikemudian hari terbukti bahwa merupakan duplikat, tiruan, plagiat atau dibuat oleh orang lain, sebagian atau seluruhnya, maka skripsi dan gelar yang diperoleh karenanya batal secara hukum.

Samata, Agustus 2017

UNIVERSITAS ISLAM NEGERI
ALAUDDIN
M A K A S S A
Penyusun
Andi Wahyuni Nur Utami
NIM. 60500113044

PENGESAHAN SKRIPSI

Skripsi yang berjudul “Sintesis Nanopartikel Mangan Dioksida (MnO_2) Secara Sonokimia Sebagai Adsorben Ion Logam Timbal (Pb^{2+})” yang disusun oleh **Andi Wahyuni Nur Utami**, NIM : **60500113044** mahasiswa jurusan Kimia pada Fakultas Sains dan Teknologi UIN Alauddin Makassar, telah diuji dan dipertahankan dalam sidang munaqasyah yang diselenggarakan pada hari rabu 23 Agustus 2017 bertepatan 1 Dzulhijjah 1438 H, dinyatakan telah dapat diterima sebagai salah satu syarat untuk memperoleh gelar sarjana dalam Ilmu Kimia, jurusan Kimia (dengan beberapa perbaikan).

Samata-Gowa, 23 Agustus 2017

1 Dzulhijjah 1438 H

DEWAN PENGUJI :

Ketua	: Prof. Dr. H. Arifuddin Ahmad, M.Ag	(.....)
Sekretaris	: Asriani Ilyas, S.Si., M.Si	(.....)
Munaqisy I	: Dra. Sitti Chadijah, M.Si	(.....)
Munaqisy II	: Dr. Maswati Baharuddin, M.Si	(.....)
Munaqisy III	: Muhsin Mahfudz, Lic, M.Ag	(.....)
Pembimbing I	: H. Asri Saleh, ST., M.Si	(.....)
Pembimbing II	: Kurnia Ramadhani, S.Si., M.Pd	(.....)

Diketahui oleh :

Dekan Fakultas Sains dan Teknologi
UIN Alauddin Makassar

Prof. Dr. A. Arifuddin, M.Ag

NIP : 19691205 199303 1 001

KATA PENGANTAR

بِسْمِ اللَّهِ الرَّحْمَنِ الرَّحِيمِ

Dengan mengucapkan syukur kepada Tuhan Yang Maha Esa atas berkat, rahmat serta karunia-Nya, penulis dapat menyelesaikan skripsi yang berjudul **“Sintesis Nanopartikel Mangan Dioksida (MnO₂) Sebagai Adsorben Ion Logam Timbal (Pb²⁺)”**. *Shalawat* serta salam semoga tetap tercurahkan kepada junjungan nabi besar Muhammad SAW beserta keluarganya. Skripsi ini termasuk dalam salah satu syarat dalam memperoleh gelar Sarjana Sains Jurusan Kimia Fakultas Sains dan Teknologi UIN Alauddin Makassar.

Penulis menyadari dalam penulisan skripsi ini masih jauh dari sempurna, dan banyak kekurangan baik dalam metode penulisan maupun dalam pembahasan materi. Namun berkat bimbingan, dorongan, serta semangat dari banyak pihak sehingga skripsi ini dapat terselesaikan. Oleh karena itu Penulis ingin mengucapkan terima kasih yang sebesar-besarnya kepada ibunda Ir. Andi Chaerani atas kasih sayang dan tak henti-hentinya memberikan doa serta dukungan moral selama penulis menempuh pendidikan hingga ke perguruan tinggi.

Penulis juga tak lupa menyampaikan rasa terima kasih yang sebesar-besarnya kepada:

1. Bapak Prof. Dr. Musafir Pababbari, M.Si, selaku Rektor Universitas Islam Negeri Alauddin Makassar.
2. Bapak Prof. Dr. Arifuddin, M.Ag, selaku Dekan Fakultas Sains dan Teknologi Universitas Islam Negeri Alauddin Makassar.
3. Ibu Sjamsiah S.Si., M.Si., Ph.D, selaku Ketua Jurusan Kimia Universitas Islam Negeri Alauddin Makassar.
4. Ibu Aisyah S.Si., M.Si, selaku sekretaris Jurusan Kimia Universitas Islam Negeri Alauddin Makassar.

5. Bapak H.Asri Saleh, ST., M.Si selaku pembimbing I yang telah meluangkan waktu, sumbangsi tenaga dan pikiran dalam memberikan arahan mulai dari awal penelitian hingga akhir penyusunan skripsi ini.
6. Ibu Kurnia Ramadani, S.Si., M.Pd selaku pembimbing II yang telah meluangkan waktu, pikiran dan solusi terhadap masalah dalam penyelesaian penelitian dan penyusunan skripsi ini.
7. Ibu Dra. Sitti Chadijah, M.Si, selaku penguji I yang membantu memberikan saran dan kritikan yang mendukung dalam melengkapi kekurangan-kekurangan dalam skripsi ini.
8. Ibu Dr. Maswati Baharuddin, S.Si., M.Si, selaku penguji II yang memberikan saran dan kritik guna menyempurnakan skripsi ini.
9. Bapak Muhsin Mahfudz, Lc., M.Ag, selaku penguji II yang arahan dalam melengkapi isi dari skripsi ini yang berkaitan dengan keagamaan.
10. Segenap dosen dan staf Jurusan Kimia Universitas Islam Negeri Alauddin Makassar, terutama dosen yang telah memberikan banyak ilmu di bangku kuliah serta staf jurusan yang membantu dalam hal akademisi.
11. Para laboran Jurusan Kimia Universitas Islam Negeri Alauddin Makassar, Kak Awal Ip S.Si., M.Si., Kak Ahmad Yani S.Si, Kak Fitri Azis S.Si., S.Pd, Kak Ismawanti, S.Si, Kak Nuraini, S.Si dan terkhusus untuk Kak Andi Nurahma, S.Si yang sangat banyak membantu dan memberikan solusi terhadap masalah-masalah dalam penelitian serta membantu secara tenaga dan materi.
12. Bapak Sugeng, selaku Analis Kimia Fisika Jurusan Kimia FMIPA UNHAS yang banyak membantu dalam penelitian.
13. Bapak Wayan, selaku Dosen Universitas Pattimura Ambon yang selalu memberi solusi dan saran atas kekurangan-kekurangan dalam penelitian.

14. Ade Adriani Syen dan Soraya Hatija Kasim, sahabat yang tak pernah bosan mendengar dan memberikan solusi terhadap keluh kesah penulis dalam menyelesaikan skripsi ini.
15. Teman-teman seperjuangan Kimia Angkatan 2013 yang banyak memberi dukungan, terkhusus partner penelitian Andi Nuraeni yang saling membangun dalam melengkapi dalam penelitian dan skripsi ini.
16. Seluruh teman-teman seperjuangan KKN angkatan 54 Kelurahan Sapaya dan Kecamatan Bungaya.

Akhirnya, Penulis mengucapkan rasa terima kasih kepada semua pihak dan apabila ada yang tidak disebutkan Penulis mohon maaf, dengan besar harapan semoga skripsi yang ditulis oleh Penulis ini dapat bermanfaat khususnya bagi Penulis sendiri dan umumnya bagi pembaca.

Wassalamu alaikum Wr. Wb

Samata-Gowa, Agustus 2017

Penulis

UNIVERSITAS ISLAM NEGERI
ALAUDDIN
M A K A S S A R
Andi Wahyuni Nur Utami

DAFTAR ISI

JUDUL	i
PERNYATAAN KEASLIAN SKRIPSI.....	ii
PENGESAHAN SKRIPSI.....	Error! Bookmark not defined.
KATA PENGANTAR.....	iv
DATAR TABEL	ix
DAFTAR GAMBAR.....	x
ABSTRAK	xi
ABSTRACT	xii
BAB I PENDAHULUAN.....	1-7
A. Latar Belakang	1
B. Rumusan Masalah	6
C. Tujuan Penelitian.....	7
D. Manfaat Penelitian.....	7
BAB II TINJAUAN PUSTAKA.....	8-28
A. Nanoteknologi.....	8
B. Partikel Mangan Dioksida (MnO ₂).....	9
C. PEG (<i>Poly Etilen Glykol</i>).....	11
D. Sonokimia.....	12
1. Ultrasonik.....	13
2. Kavitasi Akustik.....	15
E. Logam Berat.....	17
F. Adsorpsi	22
G. Difraktometer Sinar-X (<i>X-Ray Diffraction</i>)	24
H. TEM (<i>Transmission Electron Microscopy</i>).....	26
I. AAS (<i>Atomic Absorption Spectroscopy</i>).....	27
BAB III METODE PENELITIAN	31-34
A. Waktu dan Tempat	31
B. Alat dan Bahan.....	31
1. Alat Penelitian	31

2. Bahan Penelitian.....	31
C. Tahapan Penelitian	32
D. Prosedur Kerja.....	32
1. Pembuatan larutan KMnO_4 0,5 M.....	32
2. Pembuatan Nanopartikel Mangan Dioksida (MnO_2) Secara Sonokimia	32
3. Uji adsorbsivitas logam timbal (Pb).....	33
BAB IV HASIL DAN PEMBAHASAN	35-46
A. Hasil Penelitian	35
1. Sintesis dan Karakterisasi Nanopartikel Mangan Dioksida (MnO_2) Secara Sonokimia	35
a. Pengaruh Waktu dan Suhu Terhadap Nanopartikel Mangan Dioksida..	35
b. Analisis TEM	36
2. Adsorbtivitas Nanopartikel Mangan Dioksida Terhadap Logam Pb	36
a. Persentase penyerapan ion logam Pb terhadap variasi pH	37
b. Persentase penyerapan ion logam Pb terhadap variasi waktu kontak	37
B. Pembahasan.....	38
1. Sintesis dan Karakterisasi Nanopartikel Mangan Dioksida (MnO_2) Secara Sonokimia	38
b. Karakterisasi XRD	40
c. Analisis TEM	43
2. Adsorptivitas Nanopartikel Mangan Dioksida (MnO_2) Terhadap Ion Logam Timbal (Pb)	44
a. Persentasi Penyerapan Ion Logam Pb Terhadap Variasi pH.....	44
b. Persentasi Penyerapan Ion Logam Pb Terhadap Variasi Waktu Kontak	45
BAB V PENUTUP.....	47
A. Kesimpulan.....	47
B. Saran.....	47
DAFTAR PUSTAKA	47-49
LAMPIRAN-LAMPIRAN	50-70
RIWAYAT HIDUP.....	71

DATAR TABEL

Tabel II.1.	Sifat-Sifat Logam Timbal (Pb)	21
Tabel IV.1.	Hasil XRD Terhadap Variasi Waktu Dan Suhu Terhadap Nanopartikel Mangan Dioksida.....	35
Tabel IV.2.	Hasil Analisa TEM Nanopartikel Mangan Dioksida	36
Tabel IV.3.	Adsoptivitas Nanopartikel MnO ₂ Terhadap Logam Pb Pada Variasi pH Terhadap Waktu Kontak 60 Menit.....	37
Tabel IV.4.	Adsoptivitas Nanopartikel MnO ₂ Terhadap Logam Pb Pada Variasi Waktu Kontak Terhadap pH 3	37

DAFTAR GAMBAR

Gambar II.1	Struktur Polietilen Glikol (PEG)	11
Gambar II.2	Ultrasonik Elmasonik.....	13
Gambar II.3	Frekuensi Gelombang Suara	14
Gambar II.4	Efek Kavitasi Pada Irradiasi Ultrasonik	17
Gambar II.5	Logam timbal (Pb)	21
Gambar II.6	Spektrum Gelombang Elektromagnetik	25
Gambar II.7	X-Ray <i>Diffraction</i>	26
Gambar II.8	TEM (<i>Transmission Electron Microscopy</i>)	27
Gambar II.9	Spektroskopi Serapan Atom	29
Gambar IV.10	Grafik Hubungan Antara pH dan Efektivitas Penyerapan ...	44
Gambar IV.11	Grafik Hubungan Antara Waktu Kontak Dan Efektivitas Penyerapan	46

ABSTRAK

Nama : Andi Wahyuni Nur Utami

NIM : 60500113044

**Judul : Sintesis Nanopartikel Mangan Dioksida (MnO_2) Secara Sonokimia
Sebagai Adsorben Ion Logam Timbal (Pb)**

Sumber pencemar terbanyak berasal dari limbah industri yang didominasi oleh limbah logam berat salah satunya adalah Timbal (Pb). Salah satu metode yang mampu menanggulangi pencemaran logam berat adalah adsorpsi menggunakan nanopartikel mangan dioksida. Nanopartikel mangan dioksida merupakan senyawa mangan oksida yang dapat disintesis dengan metode sonokimia, menggunakan KMnO_4 sebagai pengoksidator dan PEG-4000 sebagai template. Penelitian ini bertujuan untuk mengetahui pengaruh variasi waktu dan suhu terhadap ukuran partikel yang dihasilkan serta pengaruh pH dan waktu kontak terhadap efektivitas ion logam Pb^{2+} teradsorpsi sehingga diperoleh hasil optimum. Nanopartikel yang telah disintesis dengan metode sonokimia, lalu dikarakterisasi menggunakan XRD dan TEM serta penentuan efektivitas adsorpsi ion logam Pb^{2+} ditentukan dengan AAS. Hasil penelitian ini menunjukkan nanopartikel dengan ukuran maksimum diperoleh pada waktu 180 menit suhu 65°C dengan bentuk amorf tetragonal. Nanopartikel mangan dioksida mampu menyerap ion logam Pb^{2+} dengan kondisi optimum pada pH 3 dan waktu kontak 120 menit serta konsentrasi awal ion 50 mg/L.

Kata kunci: Adsorpsi, Mangan Dioksida, Nanopartikel, Sonokimia, Timbal (II).

UNIVERSITAS ISLAM NEGERI
ALAUDDIN
M A K A S S A R

ABSTRACT

Name : Andi Wahyuni Nur Utami

NIM : 60500113044

Title : *Synthesis of Manganese Dioxide (MnO₂) Nanoparticle by Sonochemically As Metal Ion Adsorbent of Plumbum (Pb)*

Most population sources come from industrial waste which is dominated by heavy metal waste, one of which is Plumbum (Pb). One of method can be used to deal with pollution of heavy metal is adsorpsi with manganese dioxide. Manganese dioxide is the manganese oxide that can be synthesized by sonochemically method that using KMnO₄ as oxidizer and PEG-4000 as template. This research aims to determine the influence of time and temperature to the size of particle produced as well as optimum condition of the effectiveness of Pb²⁺ adsorbed by the particles in various pH and contact time. Nanoparticle that have been synthesis, followed by characterization of XRD dan TEM. And then, effectiveness of adsorbent Pb²⁺ was determine by AAS. The result of this research showed the manganese dioxide with optimum size in 180 minute at 65°C with amorf tetragonal. Optimum absorption at pH 3 with contact time 180 minutes and 50 ppm.

Key Word: Adsorption, Manganese Dioxide, Nanoparticle, Pb²⁺, Sonochemically.

UNIVERSITAS ISLAM NEGERI
ALAUDDIN
M A K A S S A R

BAB I

PENDAHULUAN

A. Latar Belakang

Nanoteknologi memberikan banyak harapan, peluang dan manfaat dalam berbagai kehidupan. Penerapan nanoteknologi ini akan memberikan nilai lebih dalam berbagai hal. Salah satu penelitian tentang pengaplikasian nanoteknologi yang sedang dikembangkan adalah usaha untuk mengurangi jumlah *solvent* dan bahan kimia berbahaya dalam produksi meningkatkan efisiensi energi, memperbesar kemampuan penyimpanan energi. Disamping itu, dikembangkan pula cara menghilangkan polutan yang sulit dihilangkan dari sumber air dan tanah sehingga hal ini sangat bermanfaat bagi lingkungan yang berkelanjutan (Riwayati, 2007: 18).

Nanopartikel merupakan pengembangan nanoteknologi yang menjadi salah satu bidang ilmu Fisika, Kimia, Biologi, dan rekayasa yang penting dan menarik beberapa tahun terakhir ini. Suatu bahan tergolong nano jika memiliki ukuran 1 - 100 nm. Secara garis besar sintesis nanopartikel dapat dilakukan dengan metode fisika dan metode kimia. Metode fisika yaitu dengan cara memecah padatan logam menjadi partikel-partikel kecil berukuran nano sedangkan metode kimia dilakukan dengan cara membentuk partikel-partikel nano dari prekursor molekular atau ionik (Abdullah dkk, 2008: 33).

Salah satu keuntungan nanopartikel adalah dapat mengadsorpsi logam berat. Adsorpsi merupakan salah satu metode yang paling populer dan efektif untuk

menanggulangi pencemaran logam berat, karena proses adsorpsi menawarkan fleksibilitas dalam desain dan operasinya (Pang dkk, 2011: 278). Metode ini bergantung pada kemampuan adsorben untuk menarik molekul-molekul gas, uap atau cairan. Beberapa contoh adsorben yang telah terbukti mampu mengadsorpsi ion logam berat adalah adsorben organik maupun nonorganik.

Pengaplikasian nanopartikel sebagai adsorben dapat digunakan dalam bidang lingkungan yaitu sebagai upaya pencegahan pencemaran logam berat pada limbah air. Salah satu jenis nanopartikel yang akan dibahas pada penelitian kali ini adalah sintesis nanopartikel MnO_2 . Berdasarkan penelitian Hasan dkk pada tahun 2015, telah berhasil mensintesis mangan (IV) oksida (MnO_2) dengan menggunakan metode sonokimia, dimana produk nanopartikel magnetite yang terbentuk hampir berbentuk bola dengan ukuran antara 50-100 nm menggunakan katalis silika alumina yang telah dimodifikasi dan bersifat supermagnetik. Selain itu, berdasarkan penelitian Susanti pada tahun 2014, telah mensintesis kristal nanopartikel Fe_3O_4 yang terbentuk dengan ukuran kurang dari 50 nm dan telah membuktikan bahwa metode sonokimia dengan fungsi temperatur dapat memperkecil ukuran nanopartikel *magnetite* serta tidak mempengaruhi pada struktur kristal nanopartikel *magnetite*. Besi (Fe) dan mangan (Mn) sama-sama logam golongan transisi, sehingga penelitian ini diharapkan dapat mensintesis nanopartikel MnO_2 yang dapat mengadsorpsi logam berat pada limbah air.

Salah satu metode sederhana dalam mensintesis nanopartikel MnO_2 yang efektif dan efisien adalah metode sonokimia (Susanti, 2014: 2). Prinsip metode sonokimia adalah memanfaatkan gelombang ultrasonik dengan frekuensi sangat

tinggi yang diradiasikan ke dalam larutan. Ketika suatu larutan diradiasi dengan gelombang ultrasonik, maka dengan larutan tersebut terjadi tumbukan antarpartikel penyusun larutan yang bertekanan tinggi. Ketika antarpartikel penyusun kecil ini saling bertumbukan, maka suhu local bisa mencapai 5000 K dengan laju pendingin 1011K/s. Selain metodenya lebih mudah dan laju reaksinya lebih cepat, metode sonokimia juga memiliki kelebihan dapat meningkatkan laju reaksi, meningkatkan hasil reaksi, membantu proses katalisis, dan memecah agregat kristal berukuran besar menjadi agregat kristal berukuran lebih kecil hingga dapat berskala nano. Metode ini memanfaatkan efek ultrasonik untuk mendapatkan aktivasi reaksi kimia dalam penelitian ini (Susanti, 2014: 2).

Penelitian ini mengacu pada pemanfaatan nanopartikel yang telah disintesis dalam mengadsorpsi logam berat pada limbah cair. Pencemaran air oleh logam berat digolongkan sebagai air limbah. Dimana air limbah merupakan air bersih yang sudah tercemar kualitasnya sehingga memiliki kandungan yang berbeda-beda dengan air murni. Meskipun demikian, hal ini tidak dapat dihindari akibat konsumsi masyarakat secara terus menerus pada berbagai produk industri. Peningkatan tersebut menyebabkan limbah air pada industri maupun laboratorium mengandung kadar logam berat dalam jumlah banyak dengan kandungan tinggi. Selain itu adanya zat pencemar organik dan logam berat yang berbeda dalam air limbah menimbulkan dampak yang besar bagi kesehatan masyarakat (Adli, 2012: 4).

Salah satu logam berat yang ditemukan pada limbah air adalah timbal (Pb). Penyerapan Pb oleh tubuh dalam jumlah sedikit sangat membahayakan karena

sangat beracun dan tidak terbiodegradasi (Darmono, 2001). Kontaminasi langsung dengan logam berat timbal (Pb) berpotensi menyebabkan kematian karena logam berat tersebut memiliki toksisitas yang sangat tinggi jika masuk ke dalam metabolisme manusia. Berbagai variasi jenis dan kadar logam berat yang terkandung dalam air limbah sehingga memiliki upaya penanggulangan yang berbeda-beda.

Pencemaran lingkungan yang terjadi akibat logam berat tidak lepas kaitannya dari limbah industri yang jika terlepas ke lingkungan tanpa beberapa pengolahan lebih lanjut dapat berdampak fatal baik bagi lingkungan maupun manusia. Sebagaimana Allah swt senantiasa memerintahkan agar mengembangkan dan memanfaatkan segala nikmat dan mencari apa yang telah Allah karuniakan karena Allah menciptakan sesuatu dengan tidak sia-sia.

Sebagaimana Firman Allah swt dalam Q.S. Al-A'raf (7): 103, yaitu:

ثُمَّ بَعَثْنَا مِنْ بَعْدِهِمْ مُوسَىٰ بِآيَاتِنَا إِلَىٰ فِرْعَوْنَ وَمَلَئِهِ ۚ فَظَلَمُوا بِهَا ۖ فَانظُرْ كَيْفَ
 كَانَتْ عَاقِبَةُ الْمُفْسِدِينَ ﴿١٠٣﴾

Terjemahnya:

“Kemudian Kami utus Musa sesudah Rasul-rasul itu dengan membawa ayat-ayat Kami kepada Fir'aundan pemuka-pemuka kaumnya, lalu mereka mengingkari ayat-ayat itu. Maka perhatikanlah bagaimana akibat orang-orang yang membuat kerusakan” (Kementrian Agama RI, 2009).

Ayat ini mengingatkan kita supaya tidak melakukan larangan-Nya yang apabila kita melakukan apa yang dilarang-Nya, Allah SWT akan menurunkan azab seperti Fir'aun dan kaumnya yang menenggelamkan mereka di hadapan Musa dan kaumnya. Demikian pula siksaan yang teramat dahsyat yang

ditimpakan kepada Fir'aun, sekaligus sebagai penawar bagi hati para ahli waris Allah SWT (Shihab, 2002).

Adapun kaitannya dengan ayat 96 – 103 menjelaskan satu yang amat penting, khususnya di saat kita hidup sekarang ini dalam krisis multidimensi yang berkepanjangan. Salah satu solusi membangun kehidupan suatu negeri yang berkah, sejahtera dan aman, yaitu dengan meluruskan konsep keimanan pada Allah dan membentuk karakter takwakkal dalam diri pemimpin dan masyarakat. Kalau tidak, bersiap-siaplah dihancurkan Allah dengan berbagai cara seperti gempa bumi, angin topan, banjir dan sebagainya seperti yang Allah ceritakan sebelumnya tentang umat Nabi Nuh, Hud, Shaleh, Luth dan Syu'aib. Kekuatan pemerintahan, kecanggihan teknologi dan harta yang melimpah yang mereka miliki tidak berguna sedikitpun menghadapi azab yang Allah turunkan. Tidak akan ada orang merasa aman dari makar Allah tersebut kecuali kaum merugi.

Berdasarkan ayat di atas, menjelaskan bahwa kita seharusnya memperbaiki kerusakan yang telah terjadi di bumi. Salah satu kerusakan yang sering ditemui adalah menggunakan bahan kimia secara berlebihan khususnya logam berat. Limbah yang dihasilkan dapat menimbulkan dampak yang berbahaya, baik bagi lingkungan maupun kesehatan. Salah satu contoh larangan Allah SWT adalah pencemaran limbah air hasil penggunaan logam berat timbal (Pb). Salah satu cara penanganan logam berat yang sering digunakan di pengolahan air limbah adalah metode adsorpsi (Adli, 2012: 14).

Berdasarkan latar belakang diatas maka dilakukan penelitian sintesis nanopartikel MnO_2 secara sonokimia dengan menggunakan variasi waktu dan

suhu sebagai adsorben ion logam timbal (Pb). Dimana hasil penelitian (Firnando dan Astuti, 2015) yang menyatakan bahwa suhu pada saat sintesis sangat berpengaruh pada ukuran nanopartikel, semakin tinggi suhu maka semakin kecil ukuran nanopartikel dan pada hasil penelitian (Bahanan, 2010) yang membuktikan bahwa semakin lama waktu pada sonokimia dapat membuat ukuran nanopartikel semakin kecil. Adapun zat yang digunakan dalam sintesis nanopartikel secara sonokimia yaitu *Poly Etilen Glikol* (PEG) yang berfungsi sebagai template dan memiliki sifat yang stabil, mudah bercampur dengan komponen lain, tidak beracun dan tidak iritatif. Hasil penelitian (Rosanti dan Puryanti, 2015) yang menyatakan bahwa PEG berfungsi sebagai template yang dapat menghambat pertumbuhan partikel dan tidak ikut bereaksi. Kemudian dilanjutkan dengan karakterisasi menggunakan XRD dan TEM, sedangkan efektivitas penyerapan ion logam Pb menggunakan AAS.

B. Rumusan Masalah

Rumusan masalah dari penelitian ini, yaitu :

1. Bagaimana pengaruh suhu dan waktu dalam mensintesis nanopartikel MnO_2 menggunakan metode sonokimia?
2. Bagaimana bentuk morfologi nanopartikel MnO_2 yang disintesis menggunakan *X-Ray Diffraction* (XRD) dan *Transmission Electron Microscopy* (TEM) ?
3. Berapa besar efektifitas nanopartikel MnO_2 dalam mengadsorpsi logam timbal (Pb) pada limbah cair?

C. Tujuan Penelitian

Tujuan dari penelitian ini, yaitu :

1. Untuk mengetahui pengaruh suhu dan waktu dalam mensintesis nanopartikel MnO_2 menggunakan metode sonokimia.
2. Untuk mengetahui bentuk morfologi nanopartikel MnO_2 yang disintesis menggunakan *X-Ray Diffraction* (XRD) dan *Transmission Electron Microscopy* (TEM).
3. Untuk mengetahui besar efektifitas nanopartikel MnO_2 dalam mengadsorpsi logam timbal (Pb) pada limbah cair.

D. Manfaat Penelitian

Manfaat dari penelitian ini, yakni :

1. Dapat memberikan informasi tentang aplikasi nanopartikel mangan (IV) oksida (MnO_2) secara sonokimia dalam mengadsorpsi logam timbal (Pb) pada limbah cair.
2. Dapat dijadikan sebuah referensi pembelajaran untuk penelitian selanjutnya.

BAB II

TINJAUAN PUSTAKA

A. Nanoteknologi

Nanoteknologi didefinisikan sebagai studi, perancangan, kreasi, sintesis, manipulasi dan aplikasi bahan-bahan fungsional, peralatan dan sistem melalui dalam ukuran 1 nanometer hingga 100 nanometer ($1 \text{ nanometer} = 1 \times 10^{-9}$) atau setara dengan ukuran atom dan molekul, serta eksploitasi dari sifat-sifat unggul bahan dalam ukuran tersebut (Ridwan dan Manaf, 2009: 2).

Teknologi ini mengacu pada manipulasi atau perakitan diri dari atom, molekul atau kelompok molekul menjadi material atau alat dengan sifat-sifat baru. Teknologi nano merupakan salah satu teknologi yang relatif masih dalam taraf pengembangan dalam penerapan, walaupun ada beberapa bidang yang telah menerapkannya. Perkembangan teknologi ini berlangsung dengan pesat terutama pada tahun 2000-an. Penerapan teknologi nano dalam berbagai bidang tersebut memberikan banyak manfaat dan keuntungan. Salah satu penelitian tentang pengaplikasian teknologi nano yang sedang dikembangkan adalah usaha untuk mengurangi jumlah *solvent* dan bahan kimia berbahaya dalam produksi, meningkatkan efisiensi energi, memperbesar kemampuan penyimpanan energi. Disamping itu dikembangkan pula cara menghilangkan polutan yang sulit dihilangkan dari sumber air dan tanah sehingga hal ini sangat bermanfaat bagi lingkungan yang berkelanjutan (Riwayati, 2007: 18).

Menurut Riwayati(2007, 17), berikut beberapa contoh penerapan teknologi nano dalam berbagai bidang:

1. Obat-obatan dan kesehatan, contohnya *delivery drug* (suatu cara untuk mengirim obat-obatan ke dalam bagian tubuh yang sakit secara efektif dan efisien)
2. Teknologi informasi, contohnya hardisk
3. Produksi dan penyimpanan energi, contohnya *Hydrogen fuell cell*
4. Ilmu bahan, contohnya pengembangan material yang lebih ringan dan lebih kuat menggunakan komposit
5. Makanan, air, dan lingkungan, contohnya *remedy methods* (pengembangan metode-metode perbaikan dalam bidang-bidang tersebut)
6. Peralatan, contohnya *tunneling microscopy*.

B. Partikel Mangan Dioksida (MnO_2)

Sintesis partikel material oksida mangan merupakan kajian yang sangat berkembang saat ini, hal ini disebabkan karena memiliki aplikasi yang bervariasi. Mangan oksida memiliki dua struktur kerangka yaitu kristal berlapis dan struktur tunnel, serta merupakan salah satu material dari golongan transisi yang banyak diteliti (Nigsih, 2006: 1).

Diantara senyawa oksida mangan yang banyak dikenal adalah padatan MnO yang berwarna hijau terang, Mn_3O_4 , Mn_2O dan MnO_2 yang berwarna hitam. Material mangan oksida berwarna hitam-kecoklatan secara khas dalam bentuk butiran yang bagus, kristalin dan lapisan. Kristalin oksida mangan merupakan material yang mempunyai sifat yang dapat mengadsorpsi molekul (*molecule*

adsorptive) dan sebagai penukar kation (*kation exchange*) yang baik. Material mangan oksida memiliki banyak aplikasi yaitu sebagai media penyimpanan magnetic dengan densitas tinggi (*high density magnetic storage*), material elektrokimia, sebagai sumber utama *ferrite* yang memiliki aplikasi dalam elektronika dan sebagai adsorben (Ningsih, 2006: 1).

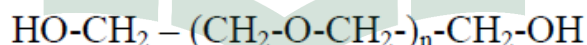
Mangan (Mn) merupakan logam ke-empat yang banyak digunakan setelah besi (Fe), aluminium (Al) dan tembaga (Cu). Lebih dari 90% bijih mangan digunakan oleh industri besi dan baja, baik untuk memproduksi besi, baja atau campuran (*alloys*) baja. Sisanya digunakan untuk berbagai keperluan industri, kimia dan farmasi. Salah satu diantaranya adalah baterai kering, korekapi, gelas, cat, bahan celup, pupuk dan lain-lainnya. Bijih mangan dapat terbentuk melalui beberapa proses, yaitu proses hidrotermal, metamorfik, sedimenter dan residu. Pada umumnya bijih mangan terdapat dalam bentuk mineral pirolusit (MnO_2) dan psilomelan ($\text{Ba}(\text{H}_2\text{O})\text{Mn}_2\text{Mn}_4\text{O}_{10}$) dan sering berasosiasi dengan kegiatan vulkanik dan batuan yang bersifat basa. Mineral-mineral bijih mangan yang penting lainnya adalah manganit ($\text{Mn}_2\text{O}_3 \cdot \text{H}_2\text{O}$), braunit ($3\text{Mn}_2\text{O}_3 \cdot \text{MnSiO}_3$), hausmanit (Mn_3O_4), rodokrosit (MnCO_3), rodonit (MnSiO_3) dan birnessit ($2\text{MnSiO}_3 \cdot \text{H}_2\text{O}$) (Askari, 2012: 2).

Mangan dioksida atau MnO_2 merupakan oksida mangan yang memiliki berbagai polimorfi struktur kristal, seperti β -, α -, δ -, dan γ - MnO_2 . Setiap material oksida mangan ini terdiri atas suatu struktur tunnel. β - MnO_2 (*pyrolusite*), α - MnO_2 (*ramsdellite*), γ - MnO_2 (*nsutite*) dan δ - MnO_2 (*vernadite*) memiliki struktur tunnel (1x1), (1x2), (1x1)(1x2), dan (1x ∞) secara berturut-turut. Dengan struktur tunnel

yang dimiliki oleh material oksida mangan ini maka ia banyak digunakan sebagai selektif katalis, penukar ion, dan penukar molekul (Saridewi dkk, 2008: 114).

C. PEG (*Poly Etilen Glykol*)

PEG (*Poly Etilen Glykol*) juga dikenal sebagai poli (etilena oksida) (PEO), *polyoxyethylene* (POE) dan di bawah tradename Carbowax adalah yang paling penting secara komersial jenis polieter. PEG, PEO atau POE merujuk pada sebuah Oligomer atau polimer etilen oksida. Tiga nama yang identik secara kimiawi, tetapi secara historis PEG cenderung untuk merujuk pada oligomers dan polimer dengan massa molekul di bawah 20.000 g / mol, PEO untuk polimer dengan massa molekul di atas 20.000 g / mol, dan POE untuk polimer dengan beberapa molekul massa. PEG dan PEO adalah cairan atau padat mencair rendah, tergantung pada berat molekul.



Gambar 2.1. Struktur Polietilen Glikol (PEG)

Angka-angka yang sering termasuk dalam nama-nama PEG menunjukkan berat molekul rata rata mereka, misalnya, seorang PEG dengan $n = 9$ akan memiliki berat molekul rata-rata sekitar 400 *daltons* dan akan diberi label PEG 400 (Perdana, 2012: 2).

D. Sonokimia

Ahli kimia pertama yang memperkenalkan efek yang luar biasa dari gelombang suara yang kemudian disebut dengan *sonochemistry* adalah Alfred L. Loomis pada tahun 1927. Penelitian selanjutnya tidak dijumpai hampir 60 tahun. Sejak tahun 1980-an efek dari ultrasonik telah banyak digunakan oleh para ilmuwan diberbagai sektor, karena ultrasonik mempunyai dampak yang signifikan secara fisika dan kimia terhadap suatu zat (Irvantino, 2013: 10)

Sebagaimana firman Allah swt dalam Q.S Hud(11): 94 sebagai berikut:

وَلَمَّا جَاءَ أَمْرُنَا نَجَّيْنَا شُعَيْبًا وَالَّذِينَ آمَنُوا مَعَهُ بِرَحْمَةٍ مِنَّا وَأَخَذَتِ الَّذِينَ ظَلَمُوا الصَّيْحَةَ فَأَصْبَحُوا فِي دِيَرِهِمْ جَثْمِينَ

Terjemahnya:

“Dan tatkala datang azab Kami, Kami selamatkan Syu'aib dan orang-orang yang beriman bersama-sama dengan Dia dengan rahmat dari Kami, dan orang-orang yang zalim dibinasakan oleh satu suara yang mengguntur, lalu jadilah mereka mati bergelimpangan di rumahnya” (Kementrian Agama RI, 2009).

Dalam ayat ini menjelaskan tentang ketika perintah Kami untuk menyiksa dan menghancurkan mereka datang, Kami selamatkan Syu'aib dan pengikutnya yang beriman dari siksaan dan kehancuran. Keselamatan mereka itu disebabkan oleh kasih sayang Kami kepada mereka. Penduduk Madyan yang kafir itu dibinasakan oleh suara keras yang menggoncang dan menghancurkan. Mereka lalu mati bergelimpangan di tempat tinggal mereka dengan muka tertelungkup, tidak bergerak sedikit pun (Shihab, 2009).

Ayat ini menjelaskan tentang suara keras yang menggoncang dan menghancurkan Penduduk Madyan yang kafir. Hal ini ada kaitannya dengan metode yang digunakan pada penelitian ini yaitu menggunakan gelombang suara

atau disebut dengan sonokimia. Prinsip metode sonokimia yaitu memecahkan agregat kecil menjadi partikel yang lebih kecil, selain itu digunakan juga larutan prekursor. Dimana akan terjadi suatu reaksi kimia dengan adanya gelombang suara.

1. Ultrasonik

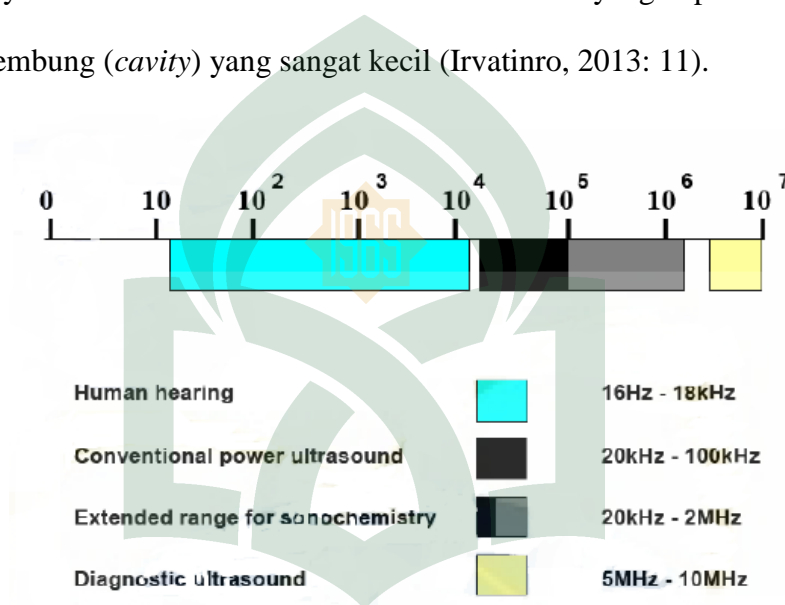
Sonokimia adalah penggunaan energi suara untuk mendorong perubahan fisika dan kimia dalam medium cairan. Dimulai dengan penemuan ultrasonik *cleaning bath* yang sederhana, biasanya digunakan untuk menjaga pengaruh jarak dari reaksi kimia. Kemudian dikembangkan menjadi sebagai sintesis kimia dan sekarang bisa diaplikasikan dalam bidang perindustrian obat-obatan dan pembersihan alat-alat medis (Irvantino, 2013: 10).



Gambar 2.2. Ultrasonik Elmasonik

Sonokimia merupakan aplikasi ultrasonik untuk reaksi dan proses kimiawi. Ultrasonik ini memiliki rentang spektrum 20 kHz - 10 MHz. Secara kasar rentang ultrasonik dibagi menjadi tiga bagian penting yaitu frekuensi rendah dengan ultrasonik berkekuatan tinggi (20 – 100 kHz), frekuensi sedang dengan kekuatan ultrasonik sedang (100 kHz - 2 MHz), dan frekuensi tinggi dengan kekuatan

ultrasonik rendah (2 - 10 MHz). Frekuensi yang memiliki rentang 20kHz-2MHz inilah yang digunakan dalam sonokimia. Sonokimia umumnya dilakukan dalam medium cair. Seperti semua gelombang suara, ultrasonik ditransmisi melalui gelombang yang memadatkan dan melepaskan struktur dari medium yang digunakan. Setiap pelepasan fase diberikan tekanan negatif yang kuat untuk mengatasi gaya ikat intermolekuler sebuah medium fluida yang dapat mengganggu produksi gelembung (*cavity*) yang sangat kecil (Irvatinro, 2013: 11).



Gambar 2.3. Frekuensi Gelombang Suara

Jauh sebelum ultrasonik ditemukan, pada umumnya untuk meningkatkan reaksi kimia yang terjadi, hal yang dilakukan dengan beberapa variasi yaitu variasi panas, tekanan, cahaya atau dengan menambahkan katalis. Para ilmuwan menemukan bahwa ketika gelombang ultrasonik melalui medium sebagai gelombang tekanan dapat meningkatkan terjadinya reaksi kimia. Hal tersebut dikarenakan gelombang suara ultrasonik yang melalui medium diubah menjadi gelombang tekanan yang kemudian mempengaruhi panas dan tekanan yang pada akhirnya dapat meningkatkan reaksi kimia yang terjadi (Bahanan, 2010: 29).

Bagi para peneliti khususnya kimiawan gelombang ultrasonik ini digunakan dalam reaksi kimia untuk meningkatkan reaksi kimia. Meningkatnya reaksi kimia disebabkan terbentuknya ion dan partikel yang terkesitasi akibat pemberian gelombang ultrasonik yang kemudian terperangkap dalam gelembung. Hal ini menyebabkan reaksi yang terjadi dapat meningkat dengan cepat yang disebabkan keadaan partikel yang terkesitasi. Partikel tersebut bebas bereaksi pada medium. Selain itu, pemberian gelombang ultrasonik dapat menyebabkan perbedaan tekanan dan suhu yang tinggi sehingga dapat menciptakan pencampuran antara larutan yang cukup efektif (emulsi) (Bahanan, 2010: 30).

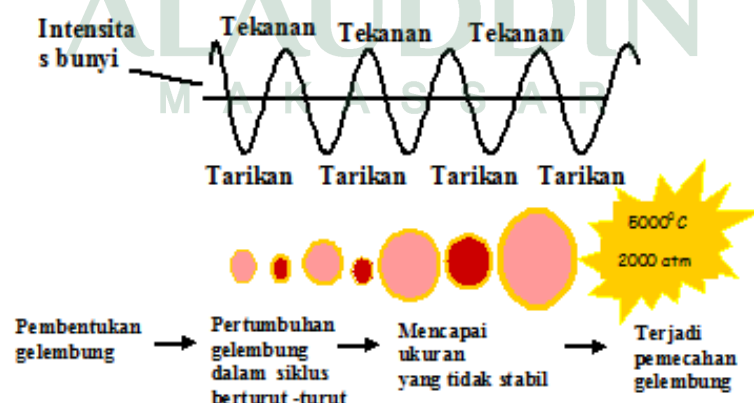
Perkembangan gelombang ultrasonik juga dapat dipakai untuk menciptakan gelembung yang dapat menimbulkan berbagai macam efek yang salah satunya adalah mempercepat reaksi kimia. Hal tersebut dapat terjadi ketika gelombang ultrasonik pada frekuensi ultrasonik diterapkan pada sebuah objek (cairan homogen) maka adalah mungkin untuk menghasilkan reaksi kimia sebagai akibat dari efek gelombang akustik yang menghasilkan kavitasi yang lebih dikenal dengan kavitasi akustik (Bahanan, 2010: 30).

2. Kavitasi Akustik

Kavitasi adalah proses terbentuknya gelembung mikro di dalam media perantara dalam hal ini cairan akibat pengaruh gelombang ultrasonik yang diberikan. Proses peregangan dan tekanan membuat gelembung kavitasi tersebut mengecil dan membesar sebagaimana perubahan gradient tekanan yang terjadi pada lingkungan. Kavitasi akustik dihasilkan oleh ultrasonik, dimana gelombang

tersebut menghasilkan noda dan anti noda yang berhubungan dengan tegangan dan regangan yang terjadi pada gelombang suara (Yulianti, 2008: 16).

Menurut teori *hot spot*, ketika kavitasi terbentuk maka akan muncul dua jenis kavitasi, yang pertama adalah kavitasi stabil dimana terjadi perbedaan tekanan yang dapat menyebabkan gelembung tersebut bertahan pada cairan daripada mengalir ke permukaan, fenomena ini disebut akustik levitasi. Hal ini berbeda dengan gelembung pada umumnya yang cenderung mengalir ke permukaan dimana pergerakan gelembung mengarah ke tekanan yang lebih rendah. Kavitasi yang juga terbentuk adalah kavitasi transien, dimana gelembung yang terbentuk naik ke permukaan dan pecah akibat perbedaan tekanan dan perbedaan suhu yang sangat tinggi. Proses terjadinya kavitasi ditunjukkan pada gambar berikut, prosesnya diawali dengan terbentuknya gelembung (*bubble*), diikuti dengan pertumbuhan gelembung (*bubble grows*), mencapai ukuran yang tidak stabil (*unstable size*) dan akhirnya pecah (*collapse*) pada suhu yang sangat tinggi (di atas 500°C) (Bahanan, 2010: 31).



Gambar 2.4. Efek Kavitasi pada Irradiasi Ultrasonik

Ketika tekanan luar rendah, gelembung melebar dan luas permukaan meningkat yang dapat menyebabkan gas/uap terdifusi ke dalam gelembung. Hasilnya tekanan di dalam meningkat. Lalu ketika tekanan di luar meningkat lagi maka ada tekanan di dalam yang kemudian menyebabkan gelembung pecah menjadi ukuran yang lebih kecil. Pada saat yang sama, meningkatnya tekanan di dalam akan memaksa gas/uap untuk berdifusi keluar cairan (Bahanan, 2010: 32).

Semakin lama siklus dari kavitasi tersebut maka kavitasi yang terbentuk akan semakin banyak. Pertumbuhan dari kavitasi ini akan mencapai titik kritis ketika secara efisien dapat menyerap energi dari iradiasi ultrasonik (ukuran kritis) (Bahanan, 2010: 32).

E. Logam Berat

Logam berat merupakan logam yang mempunyai massa jenis lebih dari 5 g/cm^3 . Logam berat biasanya menimbulkan efek-efek khusus pada makhluk hidup. Semua logam berat dapat menjadi bahan racun yang akan meracuni tubuh makhluk hidup. Namun demikian, meski semua logam berat dapat mengakibatkan keracunan pada makhluk hidup, sebagian dari logam-logam tersebut tetap dibutuhkan oleh makhluk hidup. Kebutuhan tersebut berada dalam jumlah yang sangat sedikit. Tetapi bila kebutuhan dalam jumlah yang sangat kecil itu tidak terpenuhi, maka dapat berakibat fatal terhadap kelangsungan hidup dari setiap makhluk hidup. Karena logam-logam tersebut ada yang dibutuhkan tubuh, maka logam-logam tersebut juga dinamakan sebagai logam-logam atau mineral-mineral esensial tubuh. Akan tetapi, bila jumlah dari logam-logam esensial ini masuk ke dalam tubuh dalam jumlah berlebihan maka akan berubah fungsi menjadi zat

racun bagi tubuh. Contohnya yaitu: Zn, Cu, Fe, Co, Mn, dan lain lain. Selain itu logam yang keberadaannya dalam tubuh masih belum diketahui manfaatnya atau non esensial, bahkan bersifat racun. Contohnya yaitu: Hg, Cd, Pb, Cr, dan lain-lain. (Palar, 1994). Konsentrasi maksimum logam berat timbal (Pb), kadmium (Cd), tembaga (Cu), dan besi (Fe) untuk kepentingan air minum menurut WHO berturut-turut sebesar 0,05 ppm; 0,005 ppm; 1,0 ppm; dan 0,3 ppm.

Logam berat yang mencemari lingkungan, baik dalam udara, air, dan tanah berasal dari proses alami dan kegiatan industri. Proses alami dapat berasal dari bebatuan gunung berapi yang memberikan kontribusi ke lingkungan udara, air, dan tanah. Kegiatan manusia yang bisa menambah pencemaran lingkungan berupa kegiatan industri, pertambangan, pembakaran bahan bakar, serta kegiatan domestic lain yang mampu meningkatkan kandungan logam di lingkungan udara, air, dan tanah (Widowati, 2008).

Adanya logam berat di perairan dapat membahayakan baik secara langsung yaitu terhadap organisme maupun secara tidak langsung terhadap kesehatan manusia. Hal ini berkaitan dengan sifat sifat logam berat yang sulit didegradasi, sehingga mudah terakumulasi dalam lingkungan perairan dan keberadaannya sulit terurai. Logam berat dikelompokan berdasarkan toksisitasnya terhadap lingkungan. Unsur yang termasuk ke dalam logam berat antara lain Fe, Mn, Cu, Zn, Co, Ba, Ag, As, Cd, Cr, Hg, Ni, Pb, Sb dan Se (Adli, 2012: 13).

Sebagaimana Firman Allah dalam Q.S. Ar-Rad (13): 17

أَنْزَلَ مِنَ السَّمَاءِ مَاءً فَسَالَتْ أَوْدِيَةٌ بِقَدَرِهَا فَاحْتَمَلَ السَّيْلُ زَبَدًا رَابِيًا وَمِمَّا يُوقِدُونَ عَلَيْهِ فِي النَّارِ ابْتِغَاءَ حَلِيَّةٍ أَوْ مَتَاعٍ زَبَدٌ مِثْلُهٗ ۗ كَذَٰلِكَ يَضْرِبُ اللَّهُ الْحَقَّ وَالْبَاطِلَ ۗ فَأَمَّا الزَّبَدُ فَيَذْهَبُ جُفَاءً ۗ وَأَمَّا مَا يَنْفَعُ النَّاسَ فَيَمْكُثُ فِي الْأَرْضِ ۗ كَذَٰلِكَ يَضْرِبُ اللَّهُ الْأَمْثَالَ ﴿١٧﴾

Terjemahnya:

“Allah telah menurunkan air (hujan) dari langit, Maka mengalirlah air di lembah-lembah menurut ukurannya, Maka arus itu membawa buih yang mengambang. dan dari apa (logam) yang mereka lebur dalam api untuk membuat perhiasan atau alat-alat, ada (pula) buihnya seperti buih arus itu. Demikianlah Allah membuat perumpamaan (bagi) yang benar dan yang bathil. Adapun buih itu, akan hilang sebagai sesuatu yang tak ada harganya; Adapun yang memberi manfaat kepada manusia, Maka ia tetap di bumi. Demikianlah Allah membuat perumpamaan-perumpamaan” (Kementerian Agama RI, 2009)

Ayat diatas menjelaskan tentang, demikian keadaan yang terjadi dari pada logam yang mereka lebur dalam api untuk membuat perhiasan atau barang-barang, seperti alat-alat, mata uang, pedang dan sebagainya. Ada juga buihnya seperti buih arus itu juga. Demikian Allah membuat perumpamaan tentang yang haq dan yang batil. Adapun buih itu, maka ia akan pergi hilang tanpa bekas, binasa dan tanpa manfaat dan harga dan adapun yang bermanfaat bagi manusia, maka ia tetap di bumi untuk dimanfaatkan oleh makhluk-makhluk ilahi. Demikianlah Allah membuat perumpamaan-perumpamaan (Shihab, 2009).

Ayat diatas menjelas tentang kegunaan logam yang terdapat di bumi. Dari berbagai hasil industri yang dihasilkan oleh manusia melalui proses pembakaran seperti emas, perak, tembaga, timbal dan timah sebagian besar akan menghasilkan limbah logam. Allah swt telah menerangkan kebenaran dan kebatilan pada ayat

ini. Kebenaran diibaratkan sebagai air jernih yang dapat berguna untuk makhluk hidup agar dapat melangsungkan kehidupan dan hasil industri sebagai bahan pangan, sedangkan kebatilan diibaratkan limbah hasil industri yang tidak mungkin dapat dimanfaatkan lagi.

Timbal atau dalam keseharian lebih dikenal dengan nama timah hitam, dalam bahasa ilmiahnya dinamakan *plumbum* dan disimbolkan dengan Pb. Timbal (Pb) pada awalnya adalah logam berat yang terbentuk secara alami. Namun, Timbal (Pb) juga bisa berasal dari kegiatan manusia bahkan mampu mencapai jumlah 300 kali lebih banyak dibandingkan Timbal (Pb) alami. Timbal (Pb) meleleh pada suhu 328°C (662°F), titik didih 1740°C (3164°F), dan memiliki gravitasi 11,34 dengan berat atom 207,20 (Widowati, 2008).



Gambar 2.5. Logam Timbal (Pb)

Logam timbal Pb adalah jenis logam lunak berwarna coklat kehitaman dan mudah dimurnikan. Logam Pb lebih tersebar luas dibanding kebanyakan logam toksik lainnya dan secara alamiah terdapat pada batu-batuan serta lapisan kerak bumi. Dalam pertambangan, logam ini berbentuk sulfida logam (PbS) yang sering disebut *galena*. Timbal banyak digunakan dalam industri misalnya sebagai zat tambahan bahan bakar, pigmen timbal dalam cat yang merupakan penyebab utama peningkatan kadar Pb di lingkungan (Darmono, 1995).

Tabel 2.1. Sifat-Sifat Logam Timbal (Pb)

Sifat	Keterangan
Warna	Putih kebiruan
Nama, lambang, nomor atom	Timbal, Pb, 82
Massa atom	207,2 g/mol
Konfigurasi electron	[Xe] 4f ¹⁴ 5d ¹⁰ 6s ² 6p ²
Fase	Padat
Massa jenis (sekitar suhu kamar)	11,34 g/cm ³
Titik leleh	600,61 K
Titik didih	2022 K
Bilangan oksidasi	2,4
Elektronegativitas	2,33
Jari-jari atom	180 pm

Industri yang berpotensi sebagai sumber pencemaran Timbal (Pb) adalah semua industri yang memakai Timbal (Pb) sebagai bahan baku maupun bahan penolong, seperti industri pengecoran, pembuatan baterai, kabel, dan industri kimia dalam pembuatan cat, karena toksisitasnya relatif lebih rendah jika dibandingkan dengan logam pigmen yang lain. Menurut (Palar, 2008), Timbal (Pb) dapat berada dalam badan perairan secara alamiah dan sebagai dampak dari aktivitas manusia. Secara alamiah, Timbal (Pb) dapat masuk ke badan perairan melalui pengkristalan Timbal (Pb) di udara dengan bantuan air hujan dan proses korosifikasi dari batuan mineral akibat hempasan gelombang dan angin. Timbal (Pb) dari aktivitas manusia terdapat pada limbah industri yang mengandung Timbal (Pb) yang dibuang ke badan air. Baku mutu (WHO) Timbal (Pb) dalam air 0,1 mg/liter yaitu 0,05 - 1 mg/liter.

Gejala yang khas keracunan Timbal (Pb) pada orang dewasa ialah kepuatan, sakit perut, muntah-muntah, kurang darah, dan yang paling sering ialah terlihatnya warna biru pada gusi. Gejala yang sering ditemukan yaitu sakit perut, gangguan saluran pencernaan yaitu rasa mual, diare, lesu, lemah, sakit kepala, nafsu makan hilang dan berat badan menurun, anemia, hiperiritasi, gangguan tidur (Darmono, 1995).

F. Adsorpsi

Salah satu sifat penting dari permukaan zat adalah adsorpsi. Adsorpsi adalah suatu proses yang terjadi ketika suatu fluida (cairan maupun gas) terikat pada suatu padatan dan akhirnya membentuk suatu film (lapisan tipis) pada permukaan padatan tersebut. Adsorpsi secara umum adalah proses penggumpalan substansi terlarut (*soluble*) yang ada dalam larutan, oleh permukaan zat atau benda penyerap, dimana terjadi suatu ikatan kimia fisika antara substansi dengan penyerapannya (Adli, 2012: 11).

Adsorpsi adalah proses akumulasi adsorbat pada permukaan adsorben yang disebabkan oleh gaya tarik antar molekul adsorbat dengan permukaan adsorben. Interaksi yang terjadi pada molekul adsorbat dengan permukaan kemungkinan diikuti lebih dari satu interaksi, tergantung pada struktur kimia masing masing komponen (Setyaningtyas, 2003: 2). Menurut Sukardjo (2002), molekul-molekul pada permukaan zat padat atau zat cair, mempunyai gaya tarik ke arah dalam karena tidak ada gaya-gaya yang mengimbangi. Adanya gaya-gaya ini menyebabkan zat padat dan zat cair mempunyai gaya adsorpsi. Adsorpsi

berbeda dengan absorpsi. Pada absorpsi zat yang diserap masuk ke dalam adsorben sedangkan pada adsorpsi, zat yang diserap hanya pada permukaan saja.

Adsorpsi dibedakan menjadi dua jenis, yaitu adsorpsi fisika (disebabkan oleh gaya Van Der Waals) dan adsorpsi kimia (terjadi reaksi antara zat yang diserap dengan adsorben, banyaknya zat yang teradsorpsi tergantung pada sifat khas padatnya yang merupakan fungsi tekanan dan suhu) (Atkins, 1997).

Menurut Maylani, dkk (2015: 19), adsorpsi dipengaruhi oleh beberapa faktor seperti berikut ini:

1. Konsentrasi

Proses adsorpsi sangat sesuai untuk memisahkan bahan dengan konsentrasi yang rendah dari campuran yang mengandung bahan lain dengan konsentrasi tinggi.

2. Luas Permukaan

Proses adsorpsi tergantung pada banyaknya tumbukan yang terjadi antara partikel-partikel adsorbat dan adsorben. Tumbukan selektif antara partikel itu akan meningkat dengan meningkatnya luas permukaan.

3. Temperatur

Adsorpsi akan lebih cepat berlangsung pada temperatur tinggi. Namun demikian pengaruh temperatur adsorpsi zat cair tidak sebesar pada adsorpsi gas.

4. Ukuran Partikel

Semakin kecil ukuran partikel yang diadsorpsi maka proses adsorpsinya akan berlangsung lebih cepat.

5. pH

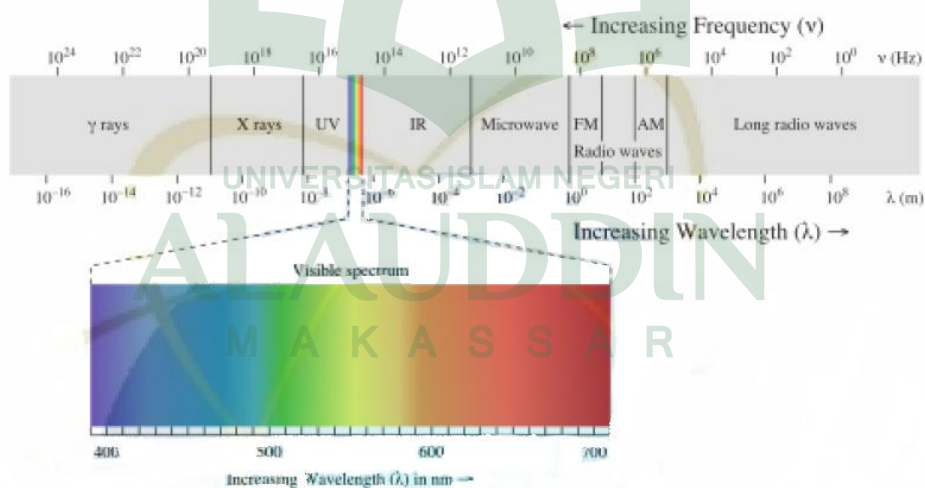
pH mempunyai pengaruh dalam proses adsorpsi. pH optimum dari suatu proses adsorpsi ditetapkan melalui uji laboratorium.

6. Waktu Kontak

Waktu kontak untuk mencapai keadaan setimbang pada proses serapan ion logam oleh adsorben berkisar antara beberapa menit hingga beberapa jam.

G. Difraktometer Sinar-X (X-Ray Diffraction)

Difraktometri sinar-X merupakan salah satu metode karakterisasi material yang paling tua dan paling sering digunakan hingga sekarang. Teknik ini digunakan untuk mengidentifikasi fasa kristalin dalam material dengan cara menentukan parameter struktur kisi serta untuk mendapatkan ukuran partikel. XRD terdiri dari *slit* dan film serta monokromator (Maylani, 2015: 25).



Gambar 2.7. Spektrum Gelombang Elektromagnetik

XRD merupakan karakterisasi untuk mengidentifikasi Kristal suatu sampel dan keberadaan senyawa, struktur kristal, dan ukuran kristal. Pada sampel

nanopartikel, ukuran kristal sama dengan ukuran partikelnya, namun hal ini tidak terlalu akurat, dibutuhkan karakterisasi lain untuk menopang hasil karakterisasi XRD untuk pengukuran ukuran partikel. XRD memanfaatkan difraksi sinar X yang ditembakkan ke sampel pada kondisi kering yang menghasilkan puncak-puncak pada grafik XRD. Masing-masing puncak mengindikasikan senyawa yang berada pada sampel. Semakin tinggi intensitas puncaknya, semakin tinggi kandungan senyawa pada sampel. Pengukuran partikel menggunakan rumus Scherrer dengan perhitungan sudut difraksi, panjang gelombang sinar X, dan lebar puncak difraksi (Harahap, 2012: 10).

Menurut (Maylani, 2015: 26), untuk penentuan ukuran partikel dapat menggunakan metode Debye-Scherrer, yaitu sebagai berikut:

$$D = \frac{K\lambda}{B \cos\theta} \dots\dots\dots (1)$$

Keterangan:

D = Ukuran rata-rata partikel

K = Konstanta dimensi Kristal (untuk dimensi Kristal 3D = 0,94)

B = Lebar ½ puncak pada difratogram

θ = Sudut difraksi

λ = Panjang gelombang sinar X



Gambar 2.8. X-Ray Diffraction

Prinsip dasar dari alat ini, yaitu sebuah sinar-X yang terdifraksi seperti sinar yang direfleksikan dari setiap bidang, berturut-turut dibentuk oleh atom-atom kristal dari material tersebut. Dengan berbagai sudut timbul, pola difraksi yang terbentuk menyatakan karakteristik dari sampel. (Maylani, 2015: 26).

H. TEM (*Transmission Electron Microscopy*)

Karakterisasi dengan TEM digunakan untuk menentukan ukuran partikel dan distribusinya. Partikel dengan ukuran beberapa nanometer dapat diamati dengan jelas menggunakan TEM karena resolusinya yang sangat tinggi. Dengan menggunakan *high resolution* TEM (HR-TEM) kita bahkan dapat menentukan lokasi atom-atom dalam sampel (Egerton: 2010).



Gambar 2.9. TEM (*Transmission Electron Microscopy*)

Pada TEM, sampel yang sangat tipis ditembak dengan berkas elektron yang berenergi sangat tinggi. Berkas elektron dapat menembus bagian sampel yang “lunak” tetapi ditahan oleh bagian keras sampel (seperti partikel). Detektor yang berada di belakang sampel menangkap berkas elektron yang lolos dari

bagian lunak sampel. Akibatnya detektor menangkap bayangan yang bentuknya sama dengan bentuk bagian keras sampel (bentuk partikel) Egerton, 2010).

Dalam pengoperasian TEM, salah satu tahap yang paling sulit dilakukan adalah mempersiapkan sampel. Sampel harus dibuat setipis mungkin sehingga dapat ditembus elektron. Sampel ditempatkan di atas grid TEM yang terbuat dari tembaga atau karbon. Jika sampel berbentuk partikel, biasanya partikel didispersi di dalam zat cair yang mudah menguap seperti etanol lalu ditetaskan ke atas grid TEM. Jika sampel berupa komposit partikel di dalam material lunak seperti polimer, komposit tersebut harus diiris tipis (beberapa nanometer). Alat pengiris yang digunakan adalah *microtom* (Abdullah dan Khaerurijjal, 2009).

I. AAS (*Atomic Absorption Spectroscopy*)

AAS (*Atomic Absorption Spectroscopy*) adalah suatu metode analisis yang didasarkan pada proses penyerapan energi radiasi oleh atom-atom yang berada pada tingkat energi dasar (*ground state*). Penyerapan tersebut menyebabkan tereksitasinya elektron dalam kulit atom ke tingkat energi yang lebih tinggi. Keadaan ini bersifat labil, elektron akan kembali ke tingkat energi dasar sambil mengeluarkan energi yang berbentuk radiasi. Dalam AAS, atom bebas berinteraksi dengan berbagai bentuk energi seperti energi panas, energi elektromagnetik, energi kimia, dan energi listrik. Interaksi ini menimbulkan proses-proses dalam atom bebas yang menghasilkan absorpsi dan emisi (pancaran) radiasi dan panas. Radiasi yang dipancarkan bersifat khas karena mempunyai panjang gelombang yang karakteristik untuk setiap atom bebas (Basset, 1994:).



Gambar 2.10. Spektroskopi Serapan Atom

Menurut (2015: 30), hubungan kuantitatif antara intensitas radiasi yang diserap dan konsentrasi unsur yang ada dalam larutan cuplikan menjadi dasar pemakaian SSA untuk analisis unsur-unsur logam. Untuk membentuk uap atom netral dalam keadaan/tingkat energi dasar yang siap menyerap radiasi dibutuhkan sejumlah energi. Energi ini biasanya berasal dari nyala hasil pembakaran campuran gas asetilen-udara atau asetilen- N_2O , tergantung suhu yang dibutuhkan untuk membuat unsur analit menjadi uap atom bebas pada tingkat energi dasar (*ground state*). Pada metode ini berlaku hubungan yang dikenal dengan hukum Lambert-Beer yang menjadi dasar dalam analisis kuantitatif secara AAS.

$$A = \epsilon \cdot B \cdot C \quad \dots (2)$$

Keterangan:

A = Absorbansi (banyaknya sinar yang diserap oleh atom)

ϵ = Koefisien ekstingsi molar

B = Tebal media penyerap /kuvet

C = Konsentrasi sampel

Pengukuran spektrofotometri membutuhkan larutan-larutan yang mempunyai konsentrasi unsur yang ditetapkan yang sangat rendah. Akibatnya larutan standar yang akan diperlukan untuk analisis itu harus juga mengandung konsentrasi yang sangat rendah dari unsur-unsur yang relevan. Deret standar yang dipersiapkan harus berasal dari larutan induk yang ideal, artinya terbuat dari

logam murni atau oksida logam murni dengan melarutkan dalam larutan asam yang sesuai dan zat padat yang digunakan juga harus memiliki kemurnian yang tinggi (Basset dkk, 1994).

Sebagaimana Firman Allah dalam Q.S.Sad (38): 27

وَمَا خَلَقْنَا السَّمَاءَ وَالْأَرْضَ وَمَا بَيْنَهُمَا بَطْلًا ۚ ذَٰلِكَ ظَنُّ الَّذِينَ كَفَرُوا ۖ فَوَيْلٌ لِلَّذِينَ
كَفَرُوا مِنَ النَّارِ ﴿٢٧﴾

Terjemahnya:

“Dan Kami tidak menciptakan langit dan bumi dan apa yang ada antara keduanya tanpa hikmah. yang demikian itu adalah anggapan orang-orang kafir, Maka celakalah orang-orang kafir itu karena mereka akan masuk neraka”

Ayat di atas menjelaskan tentang Kami tidak menciptakan langit dan bumi beserta semua yang ada di antara keduanya sia-sia. Itu hanya sangkaan orang-orang kafir sehingga mereka semena-mena memberikan keputusan sesuai hawa nafsunya. Dari itu, mereka akan memperoleh siksa yang pedih berupa api neraka (Shihab, 2009).

Berdasarkan tafsir di atas Allah swt memberitahukan tentang sempurnanya hikmah (kebijaksanaan)-Nya dalam menciptakan langit dan bumi, dan bahwa Dia tidaklah menciptakan keduanya sia-sia (tanpa hikmah, faedah dan maslahat). Mereka beranggapan dengan anggapan yang tidak layak dengan kebesaran Allah swt. Yakni biarlah neraka yang mengambil hak yang mereka abaikan itu. Allah swt menciptakan langit dan bumi dengan kebenaran dan untuk kebenaran, Dia menciptakan keduanya (langit dan bumi) untuk memberitahukan kepada hamba sempurnanya ilmu-Nya, kemampuan-Nya, luasnya kekuasaan-Nya, dan bahwa Dia yang berhak disembah tidak selain-Nya yang tidak mampu menciptakan apa-apa, dan bahwa kebangkitan adalah hak, dan bahwa Allah akan memutuskan masalah yang terjadi antara orang-orang yang baik dan orang-orang yang buruk.

Adapun hikmah yang dapat dipetik dari penelitian ini yaitu kita juga harus mampu memahami konteks misi Islam sebagai Rahmatan Lil Alamiin atau rahmat bagi sekalian alam. Kata alam disini jelas bukan hanya makhluk hidup seperti mausia dan binatang, tetapi juga alam semesta. Bahkan jika melihat Al-Quran, dipastikan akan banyak ditemui ayat-ayat yang berbicara tentang lingkungan hidup, antara lain lingkungan sebagai suatu sistem, tanggung jawab manusia untuk memelihara lingkungan hidup, larangan merusak lingkungan, sumber daya vital dan problematikanya, peringatan mengenai kerusakan lingkungan hidup yang terjadi karena ulah tangan manusia dan pengelolaan yang mengabaikan petunjuk Allah serta solusi pengelolaan lingkungan. Hal ini sangat jelas dijelaskan pada Q.S. Al-A'raf ayat 103. Selain itu tidak ada yang sia-sia dalam perbuatan Allah. Termasuk ketika Dia menciptakan kita semua, sebagaimana telah dijelaskan dalam Q.S. Sad ayat 27. Salah satu contohnya yang berkaitan dengan penelitian ini yaitu mineral-mineral yang terdapat di alam yang dapat disintesis menjadi nanopartikel. Fungsi dari nanopartikel ini sebagai adsorben guna mengurangi pencemaran air oleh limbah logam berat.

BAB III

METODE PENELITIAN

A. Waktu dan Tempat

Penelitian ini dilaksanakan pada bulan Februari 2017 – Juli 2017 di laboratorium Kimia Fisika Universitas Hasanuddin (Unhas), laboratorium Kimia Riset Universitas Islam Negeri (UIN) Alauddin Makassar dan laboratorium Pusat Penelitian Nanoteknologi dan Nanosains (PPNN) Institut Teknologi Bandung (ITB).

B. Alat dan Bahan

1. Alat Penelitian

Alat yang akan digunakan dalam penelitian ini adalah *X-Ray Diffraction* (XRD) Shimadzu XRD-7000, *Transmission Electron Microscopy* (TEM) HT 7700, *Atomic Absorption Spektrofometer* (AAS) Varian AA240S, Shaker merk *Thermo Scientific* MAXQ 2000, *magnetic stirrer*, ultrasonik, neraca analitik, erlenmeyer 250 mL, labu takar 1000 mL, 100 mL dan 50 mL, gelas kimia 50 mL, pipet volume 25 mL, pipet skala 10 mL, 5 mL dan 1 mL, pipet tetes 3 mL, batang pengaduk, corong, spatula, botol semprot.

2. Bahan Penelitian

Bahan yang akan digunakan dalam penelitian ini adalah akuades (H_2O), etanol p.a (C_2H_5OH), kalium permanganat ($KMnO_4$), kertas saring *whattman* no. 42, *Poly Ethylen Glycol* (PEG) 4000, timbal nitrat ($Pb(NO_3)_2$) dan tissue.

C. Tahapan Penelitian

Penelitian ini dilakukan dengan melalui beberapa tahapan sebagai berikut:

1. Persiapan dan pembersihan alat
2. Proses penyiapan larutan
3. Modifikasi permukaan katalis silika dan silika-alumina
4. Pembuatan nanopartikel mangan dioksida (MnO_2) secara sonokimia
5. Uji adsorbsivitas logam timbal (Pb) dalam limbah sintetik.

D. Prosedur Kerja

1. Pembuatan larutan KMnO_4 0,5 M

Menimbang padatan KMnO_4 sebanyak 0,5 gram lalu melarutkan ke dalam 60 mL aquades dan menghomogenkan. Selanjutnya mengaduk larutan hingga semua padatan larut.

2. Pembuatan Nanopartikel Mangan Dioksida (MnO_2) Secara Sonokimia

Menimbang polyetilenglikol mw 4000 \pm 5,5 gram dan melarutkan dalam 100 mL akuades lalu menambahkan ke dalam larutan KMnO_4 0.5 M yang berwarna ungu pekat kemudian memasukkan bar magnetik ke dalam campuran larutan. Mengaduk larutan menggunakan *hotplate* stirrer hingga homogen selama \pm 5 menit dan larutan berwarna ungu kecoklatan. Memasukkan ke dalam ultrasonik dan disonikasi dengan menggunakan variasi waktu (120, 180 dan 240) menit dan suhu (50, 65 dan 80) $^\circ\text{C}$ secara berpasangan (berturut-turut) pada daya 21 W. Menyaring larutan hasil sonikasi yang berubah warna menjadi warna coklat dengan kertas saring whattman no. 42 menggunakan pompa vakum selama hingga cairan filtrat menjadi agak bening lalu mencuci dengan aquades

beberapa kali kemudian membilas dengan menggunakan etanol p.a sebanyak tiga kali. Mengoven endapan pada suhu 70 °C selama 8 jam (Raj, dkk, 2014: 1934).

3. Uji adsorbsivitas logam timbal (Pb)

a. Pembuatan larutan induk Pb^{2+} 1000 ppm sebanyak 1000 mL

Menimbang padatan $Pb(NO_3)_2$ sebanyak 1,598 gram, lalu dilarutkan ke dalam labu ukur 1000 mL dengan aquades kemudian dihimpitkan sampai tanda batas.

b. Pembuatan larutan baku Pb^{2+} 100 ppm sebanyak 100 mL

Memipet larutan induk Pb^{2+} 1000 ppm sebanyak 10 mL ke dalam labu ukur 100 mL, kemudian dihimpitkan sampai tanda batas.

c. Pembuatan larutan uji Pb^{2+} 50 ppm sebanyak 50 mL

Memipet larutan induk Pb^{2+} 1000 ppm sebanyak 2,5 mL ke dalam labu ukur 50 mL, kemudian dihimpitkan sampai tanda batas.

d. Pembuatan larutan standar Pb^{2+} 1, 2, 3, 4 dan 5 ppm sebanyak 50 mL

Pembuatan larutan standar dilakukan dengan cara memipet larutan baku Pb^{2+} 50 ppm masing-masing sebanyak 1 mL, 2 mL, 3 mL, 4 mL dan 5 mL ke dalam labu takar 50 mL. Kemudian dihimpitkan sampai tanda batas.

e. Penentuan persentase logam timbal (Pb) teradsorpsi terhadap variasi pH

Menimbang nanopartikel MnO_2 sebanyak 0,125 gram ke dalam 5 erlenmeyer 250 mL, kemudian menambahkan masing-masing 25 mL larutan uji Pb^{2+} 50 ppm dengan variasi pH 3, 5, 7, 9 dan 11. Pengaturan pH larutan menggunakan HCl 0,1 M dan NaOH 0,1 M. Lalu larutan dikocok dengan shaker pada kecepatan 150 rpm selama 60 menit. Selanjutnya memisahkan supernatant dan adsorben, menentukan supernatant kadar Pb^{2+} dengan menggunakan *Atomic Absorption Spectrophotometer* (AAS) pada $\lambda = 283,3$ nm.

f. Penentuan persentase logam timbal (Pb) teradsorpsi terhadap variasi waktu kontak

Menimbang nanopartikel MnO_2 sebanyak 0,125 gram ke dalam 5 erlenmeyer 250 mL, kemudian menambahkan masing-masing 25 mL larutan uji Pb^{2+} 50 ppm dengan pH optimum. Lalu larutan dikocok dengan shaker pada kecepatan 150 rpm masing-masing selama 60, 90, 120, 150 dan 180 menit. Selanjutnya memisahkan supernatant dan adsorben, menentukan supernatant kadar Pb^{2+} dengan menggunakan *Atomic Absorption Spectrophotometer* (AAS) pada $\lambda = 283,3 \text{ nm}$



BAB IV

HASIL DAN PEMBAHASAN

A. Hasil Penelitian

Penelitian ini dilakukan melalui tiga tahap yaitu sintesis nanopartikel mangan dioksida (MnO_2) secara sonokimia, karakteristik nanopartikel dan uji adsorbtivitas nanopartikel dalam menyerap logam timbal (Pb). Adapun hasil penelitian, sebagai berikut:

1. Sintesis dan Karakterisasi Nanopartikel Mangan Dioksida (MnO_2) Secara Sonokimia

a. Pengaruh Waktu dan Suhu Terhadap Nanopartikel Mangan Dioksida

Tabel IV.1. Hasil XRD terhadap variasi waktu dan suhu terhadap nanopartikel mangan dioksida

Waktu (menit)	Suhu ($^{\circ}\text{C}$)	Ukuran Partikel (nm)	Rumus Molekul	Warna Endapan
120	50	13,64	$\beta\text{-MnO}_2$	Coklat
180	65	11,84	$\beta\text{-MnO}_2$	Coklat kehitaman
240	80	-	$\beta\text{-MnO}_2$	Coklat kehitaman

Pada table IV.1 dapat dilihat perubahan warna nanopartikel MnO_2 dengan variasi waktu dan suhu. Semakin lama waktu dan suhu sonokimia yang diberikan maka semakin hitam kecoklatan warna endapan nanopartikel. Sedangkan Ukuran diameter nanopartikel MnO_2 mengalami penurunan dengan meningkatnya waktu dan suhu pada proses sonokimia. Adapun jenis mineral yang diperoleh dari variasi

waktu dan suhu tidak berbeda yaitu *pyrolusit*, begitu pula dengan rumus molekul dan bentuk kristalnya yaitu β -MnO₂ dan tetragonal. Analisa pengukuran tersebut didapatkan dari persamaan *Scheerer* yang berdasarkan analisa difraktogram XRD, perhitungan dapat dilihat pada lampiran 4 dan 5.

b. Analisis TEM

Tabel IV.2. Hasil Analisa TEM nanopartikel mangan dioksida waktu 180 menit dan suhu 65°C

No.	Ukuran (nm)	Bentuk Permukaan	Perbesaran (x)	Keterangan
1	200	Bulat	5.000 x	
2	0,001	Bulat	80.000 x	
3	100	Tidak jelas	100.000 x	Teraglomerasi
4	50	Tidak jelas	200.000 x	
5	20	Bulat	400.000 x	

Pada table IV.2 yang menunjukkan morfologi dan bentuk permukaan nanopartikel hasil sintesis secara sonokimia yang masih terglomerasi. Gambar dapat dilihat pada lampiran 6.

2. Adsorbtivitas Nanopartikel Mangan Dioksida Terhadap Logam Pb

Variasi yang digunakan untuk uji adsorbtivitas yaitu variasi pH dan variasi waktu kontak. Hal ini dilakukan untuk mengetahui kemampuan nanopartikel dalam menyerap logam timbal (Pb).

a. Persentase penyerapan ion logam Pb terhadap variasi pH

Tabel IV.3. Adsoptivitas nanopartikel MnO₂ terhadap logam Pb pada variasi pH terhadap waktu kontak 60 menit

pH	Konsentrasi (ppm)			Kapasitas	Efesiensi
	[Pb] awal	[Pb] sisa	[Pb]teradsorpsi	adsorpsi (mg/kg)	Penyerapan (%)
3	50	0.33	49.667	$9,9334 \times 10^{-3}$	99.33
5	50	17.2435	32.7565	$6,5453 \times 10^{-3}$	65.51
7	50	4.4487	45.5513	$9,1102 \times 10^{-3}$	91.06
9	50	8.2948	41.7052	$8,3410 \times 10^{-3}$	83.41
11	50	12.1153	37.8847	$7,5769 \times 10^{-3}$	75.77

Pada table IV.3 dapat dilihat bahwa persentasi Pb²⁺ teradsorpsi mengalami kenaikan pada pH 3 pada konsentrasi larutan uji 50 ppm sebanyak 25 mL dengan massa nanopartikel 0,125 gram. Nanopartikel mangan dioksida dapat mengadsorpsi logam Pb dengan tingkat efesiensi 99,33%.

b. Persentase penyerapan ion logam Pb terhadap variasi waktu kontak

Tabel IV.4. Adsoptivitas nanopartikel MnO₂ terhadap logam Pb pada variasi waktu kontak terhadap pH 3

Waktu kontak (menit)	Konsentrasi (ppm)			Kapasitas	Efesiensi
	[Pb] awal	[Pb] sisa	[Pb]teradsorpsi	adsorpsi (mg/kg)	Penyerapan (%)
60	50	0.551	49.449	$9,889 \times 10^{-3}$	98.898
90	50	0.410	49.59	$9,918 \times 10^{-3}$	99.18
120	50	0.307	49.693	$9,938 \times 10^{-3}$	99.386
150	50	1.256	48.744	$9,748 \times 10^{-3}$	97.5
180	50	1.474	48.526	$9,705 \times 10^{-3}$	97.052

Pada table IV.4 Dapat dilihat bahwa persentasi Pb²⁺ teradsorpsi mengalami kenaikan pada waktu kontak 120 menit pada konsentrasi larutan uji 50 ppm

sebanyak 25 mL dengan massa nanopartikel 0,125 gram. Nanopartikel mangan dioksida dapat mengadsorpsi logam Pb dengan tingkat efisiensi 99,386%.

B. Pembahasan

1. Sintesis dan Karakterisasi Nanopartikel Mangan Dioksida (MnO_2) Secara Sonokimia

a. Pengaruh waktu dan suhu terhadap sintesis nanopartikel mangan dioksida (MnO_2) secara sonokimia

Nanopartikel mangan dioksida dapat disintesis menggunakan metode sonokimia. Dimana metode sonokimia adalah penggunaan energi suara untuk mendorong perubahan fisika dan kimia dalam medium cairan sehingga menghasilkan material berukuran kecil menjadi lebih kecil lagi.

Sintesis nanopartikel pada kali ini menggunakan variasi waktu dan suhu serta menggunakan PEG-4000 sebagai template. Pada waktu 120 menit suhu 50°C , menghasilkan nanopartikel berukuran serbuk berwarna coklat, pada waktu 180 dan 240 menit suhu 65°C dan 80°C menghasilkan nanopartikel dengan serbuk berwarna coklat kehitaman.

Tahap awal pada sintesis nanopartikel mangan dioksida yaitu dengan pembuatan larutan KMnO_4 sebagai larutan prekursor. Menggunakan larutan KMnO_4 sebagai prekursor karena lebih efektif dalam menghasilkan oksida mangan dibandingkan prekursor-prekursor mangan garam (klorida, nitrat, karbonat dan sulfat). Selain berfungsi sebagai prekursor, KMnO_4 juga berfungsi sebagai pengoksidator. Menurut penelitian (Mellisani, 2013) mengatakan bahwa sintesis MnO_2 terjadi karena adanya reaksi oksidasi Mn^{2+} menjadi Mn^{4+} menggunakan pengoksidator KMnO_4 yang menggunakan variasi waktu dan suhu pada metode sonokimia dapat mempengaruhi ukuran dan warna nanopartikel MnO_2 . Tahap kedua dalam sintesis mangan dioksida yaitu dengan penambahan

bahan. KMnO_4 merupakan senyawa yang mudah tereduksi, oleh sebab itu maka dibutuhkan bahan yang dapat menjaga kestabilan KMnO_4 dan dapat menghasilkan ukuran nanopartikel berbentuk bulat. Menurut penelitian (Perdana, 2012) yang mengatakan bahwa salah satu zat yang dapat dipakai untuk membentuk dan mengontrol ukuran dan struktur pori adalah *Poly Ethylen Glikol* (PEG). Dalam hal ini, PEG dapat berfungsi sebagai template dan juga pembungkus partikel sehingga tidak terbentuk agregat karena PEG terjebak dalam permukaan partikel dan menutupi ion positif dan pada akhirnya akan diperoleh hasil partikel dengan bentuk bulatan yang seragam. Semakin besar konsentrasi penambahan PEG, maka semakin kecil ukuran partikel yang didapatkan. Sehingga pada sintesis nanopartikel mangan dioksida ini menggunakan PEG-4000 yang memiliki sifat stabil dan mudah larut dalam air. Dalam sintesis ini, menambahkan PEG-4000 yang telah dilelehkan (berwarna bening) ke dalam larutan KMnO_4 (berwarna ungu pekat) kemudian distirer menghasilkan larutan berwarna ungu pekat kecoklatan berfungsi agar larutan tersebut menjadi homogen. Setelah homogen, larutan tersebut disonokasi pada waktu dan suhu yang telah ditentukan. Hasil sonokasi yang berwarna coklat lalu diambil residunya dengan cara penyaringan yang menggunakan pompa vakum. Penyaringan dilakukan berulang kali hingga filtrat berwarna coklat bening yang menandakan endapan MnO_2 tersebut benar-benar tersaring. Setelah itu endapan dibilas dengan aquades yang berfungsi untuk menghilangkan zat pengotor yang berada pada endapan, menggunakan aquades pada proses pembilasan karena aquades memiliki sifat yang netral sehingga memungkinkan tidak dapat bereaksi dengan endapan. Kemudian dibilas lagi menggunakan etanol yang bertujuan untuk menghilangkan sisa-sisa PEG yang terdapat pada endapan. Menggunakan etanol karena memiliki sifat yang sama dengan PEG yaitu sama-sama memiliki sifat polar. Berdasarkan teori dasar *like*

dissolved like, yang berbunyi senyawa polar hanya akan larut pada senyawa polar dan senyawa nonpolar akan larut dalam senyawa nonpolar.

Berdasarkan penelitian (Abulizi dkk, 2014) yang menjelaskan bahwa pembentukan MnO_2 diperoleh dari reduksi MnO_4^- . Pada saat sonikasi, proses reduksi MnO_4^- dilakukan menggunakan air. Air tersebut mengalami reaksi termolisis (secara homolitik) sehingga membentuk radikal-radikalnya yang disebabkan pembentukan gelembung kavitasi pada suhu yang tinggi.



Ketika atom $\text{H}\cdot$ dan $\cdot\text{OH}$ membentuk radikal maka akan memiliki reaktivitas yang tinggi, sehingga dapat membentuk beberapa senyawa yaitu H_2O , H_2 dan H_2O_2 . Selain itu atom $\text{H}\cdot$ yang menghasilkan H_2 termasuk jenis pereduksi yang dapat mereduksi ion logam. Pada penelitian ini, ion logam yang direduksi adalah ion mangan dari MnO_4^- yang bertindak sebagai penerima atom H, reaksinya sebagai berikut:



Hasil reaksi MnO_4^- dan $\text{H}\cdot$ menghasilkan endapan MnO_2 berwarna coklat dalam air dan OH^- sebagai hasil samping.

b. Karakterisasi XRD

Setelah disintesis, nanopartikel mangan dioksida dikarakterisasi menggunakan difraksi sinar-X (shimadzu XRD-7000). Hasil XRD menunjukkan pola difraksi partikel yang sesuai dengan pola difraksi pada *Joint Committee on Powder Diffraction Standar* (JCPDS). Gambar pola difraksi dapat dilihat pada Lampiran 3.

Hasil analisis XRD dengan variasi waktu dan suhu menghasilkan pola difraksi yang berbeda seiring dengan meningkatnya waktu dan suhu yang mempengaruhi tingkat ketajaman puncak yang dihasilkan. Analisis ini juga

menghasilkan pola difraksi yang sesuai pada (JCPDS 96-900-9082) dengan nomor sampel 9009081.

Variasi waktu dan suhu menghasilkan pola-pola difraksi yang berbeda-beda. Difraktogram pada waktu (120, 180 dan 240) menit dan suhu (50, 65 dan 80)°C dapat terbaca oleh data instrumen yang menunjukkan telah teridentifikasi senyawa mangan dioksida dikarenakan struktur kristal yang kurang kompak (amorf). Proses sintesis pada penelitian ini menghasilkan beberapa senyawa lain selain MnO₂. Dikarenakan PEG yang digunakan tidak membungkus sampel secara tidak merata. Akan tetapi senyawa senyawa tersebut tidak dapat dipersentasikan karena memiliki intensitas yang minim sehingga tidak dapat terbaca oleh data *match*.

Difraktogram pada waktu 120 menit suhu 50°C menunjukkan puncak difraksi pada 2θ yaitu 10,5° sampai 79,21° yang sesuai dengan pola difraksi JCPDS 96-900-9082. Puncak utama dapat dilihat dengan peak yang memiliki intensitas paling tinggi, terdapat pada sudut $2\theta = 37,64^\circ$ dan indeks Miller 101 yang menunjukkan bentuk *pyrolusit* amorf tetragonal. Hasil tersebut mendekati penelitian (Abulizi dkk, 2010) yang menghasilkan puncak difraksi pada sudut $2\theta = 37^\circ$ hingga 67° dan menunjukkan bentuk kristal lemah atau amorf tetragonal. Hal ini juga diperkuat dengan munculnya puncak-puncak pendukung pada sudut $2\theta = 29,21^\circ$ dan $59,71^\circ$ dengan indeks Miller masing-masing 110 dan 220 yang identik dengan pola difraksi MnO₂.

Difraktogram pada waktu 180 menit suhu 65°C menunjukkan puncak difraksi pada 2θ yaitu 20,49° sampai 79,64° yang sesuai dengan pola difraksi JCPDS 96-900-9082. Puncak utama dapat dilihat dengan peak yang memiliki intensitas paling tinggi, terdapat pada sudut $2\theta = 36,94^\circ$ dan indeks Miller 101 yang menunjukkan bentuk *pyrolusit* amorf tetragonal. Hasil tersebut mendekati

penelitian (Viscarini, 2014) yang menghasilkan puncak difraksi pada sudut $2\theta = 36,36^\circ$ hingga $65,76^\circ$ dan menunjukkan bentuk kristal lemah atau amorf tetragonal. Hal ini juga diperkuat dengan munculnya puncak-puncak pendukung pada sudut $2\theta = 36,36^\circ$ dan $65,76^\circ$ dengan indeks Miller 101 dan 002 yang identik dengan pola difraksi MnO_2

Difraktogram pada waktu 240 menit dan suhu 80°C dapat dibaca oleh data instrumen yang menunjukkan puncak difraksi MnO_2 tetapi tidak terbaca oleh data *match*. Tetapi jika dibandingkan dengan difraktogram 120 menit suhu 50°C dan 180 menit suhu 65°C menunjukkan pola difraksi yang hampir sama. Hal ini mengindikasikan bahwa telah terdapat senyawa MnO_2 namun memiliki intensitas yang sangat minim.

Melalui data difraktogram XRD dapat diketahui ukuran kristal dengan cara menghitung besarnya FWHM (*Full Width at Half Maximum*) yang digunakan untuk menentukan ukuran kristal dengan menggunakan persamaan Scherrer. Dari perhitungan dengan menggunakan persamaan Scherrer diperoleh ukuran diameter partikel rata-rata pada waktu (120 dan 180) menit dan suhu (50 dan 65°C) masing-masing adalah 13,64 dan 11,38 nm. Hasil ini mendekati penelitian. Data di atas sesuai dengan hasil penelitian (Bahanan, 2010) bahwa terjadinya penurunan ukuran nanopartikel pada sampel disebabkan karena semakin lama waktu sonokimia maka semakin banyak gelembung kavitas yang terbentuk. Pecahnya gelembung kavitas memperluas permukaan zat padat menjadi non sferik dan menimbulkan *shockwave*. Kavitas dan *shockwave* dapat membuat pergerakan partikel-partikel zat padat menjadi lebih cepat. Tumbukan antar partikel yang dihasilkan menyebabkan perubahan yang signifikan di dalam morfologi permukaan, komposisi dan reaktivitas.

c. Analisis TEM

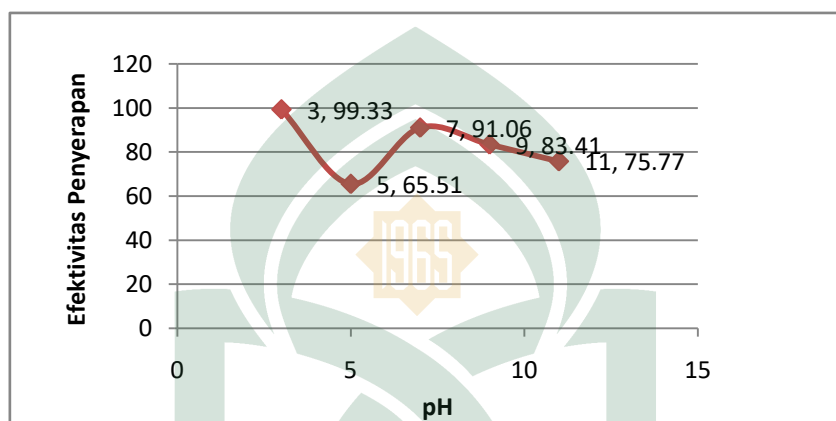
Nanopartikel mangan dioksida hasil sintesis dikarakterisasi dengan *Transmission Electron Microscopy* (TEM) (HT 7700). Hasil dari analisis ini akan memperlihatkan gambar morfologi dan distribusi pada sampel. Hasil analisis dapat dilihat pada Lampiran 6.

Nanopartikel hasil sintesis sonokimia pada waktu 180 menit dan suhu 65°C menunjukkan morfologi masih teraglomerasi dan terdapat butiran-butiran halus yang tidak seragam pada perbesaran 5000x dengan skala 200nm. Perbesaran 80.000x dengan skala 0,001 nm menunjukkan morfologi mangan dioksida berupa bulat-bulatan yang terdistribusi secara acak. Hal serupa juga pada perbesaran 100.000x dengan skala 100 nm yang menunjukkan kisi antar partikel MnO₂ masih belum jelas dengan adanya bayangan hitam yang tidak merata, hal ini mengindikasikan bahwa masih ada senyawa lain selain MnO₂, data ini sesuai dengan hasil XRD. Namun pada perbesaran yang lebih besar yaitu 200.000x dengan skala 50 nm, menunjukkan morfologi masih teraglomerasi. Sedangkan pada perbesaran 400.000x dengan skala 20 nm menunjukkan bahwa morfologi berbentuk bulat. Hal ini mendekati hasil XRD, dimana ukuran diameter nanopartikel mangan dioksida masih berada disekitar 20 nm yaitu 11,38 nm. Adapun yang menyebabkan ukuran nanopartikel yang diperoleh tersebut karena gelombang kejut pada sonikasi tidak dapat memisahkan penggumpalan partikel karena frekuensi dari alat ultrasonic yang rendah. Diperlukan pula waktu sonokimia yang lebih lama agar proses penggumpalan tersebut berkurang sehingga ukuran partikel cenderung lebih homogen (Delmifiana dan Astuti, 2013).

2. Adsorptivitas Nanopartikel Mangan Dioksida (MnO_2) Terhadap Ion Logam Timbal (Pb)

a. Persentasi Penyerapan Ion Logam Pb Terhadap Variasi pH

Penentuan efektivitas penyerapan dilakukan untuk mengetahui batas kemampuan nanopartikel MnO_2 dalam penyerapan logam timbal (Pb) pada variasi pH



Gambar IV.11 Grafik hubungan antara pH dan efektivitas penyerapan

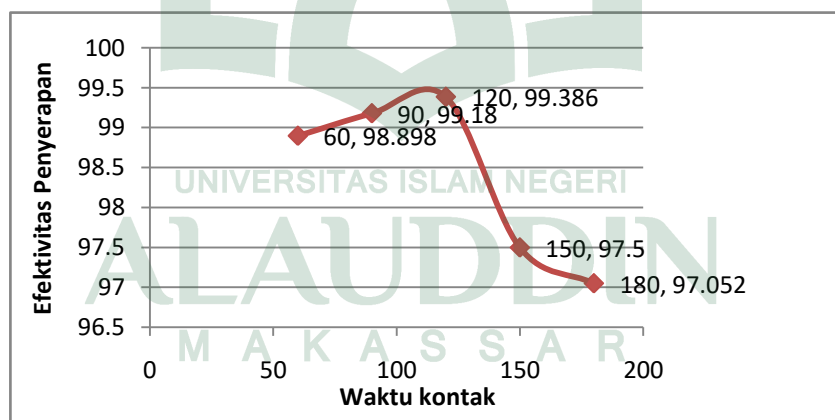
Berdasarkan gambar IV.11 dapat dilihat bahwa parameter mempengaruhi persentase penyerapan ion logam Pb. Pada pH 3 dengan efektivitas adsorpsi tertinggi sebesar 99,33%.

Pada pH 5 terjadi penurunan signifikan adsorpsi sebesar 65,51%, diperkirakan karena sebagian nanopartikel akan larut sehingga persentasi ion logam yang terserap juga berkurang, pada pH rendah adsorben bermuatan positif yang disebabkan oleh banyaknya H^+ yang berasal dari HNO_3 , sehingga terjadi tolak menolak antara permukaan mangan dioksida dengan ion Pb^{2+} . Dengan kata lain terjadi kompetisi antara ion H^+ dan ion Pb^{2+} dalam berinteraksi dengan sisi aktif yang dimiliki mangan dioksida sebagai adsorben, sehingga persentasi adsorpsi menjadi menurun. Namun pada pH 7, persentasi adsorpsi naik kembali menjadi 91,06%. Hal ini dikarenakan pada pH netral terjadi kesetimbangan antara

laju adsorpsi dengan desorpsi mangan dioksida dengan larutan Pb^{2+} , akan tetapi keadaan ini belum bisa dikatakan optimum. Penurunan kembali adsorpsi terjadi pada pH 9 sebesar 83,41% dan turun lagi pada pH 11 sebesar 75,77%. Hal ini sesuai dengan penelitian (Susilowati, 2013) yang menyatakan bahwa pada $pH > 7$ terjadi penurunan persentasi penyerapan Pb^{2+} yang disebabkan akibat meningkatnya konsentrasi ion OH^- . Ion OH^- dalam larutan yang semakin banyak cenderung berikatan dengan Pb^{2+} membentuk endapan $Pb(OH)_2$ yang dapat diamati pada dasar tabung reaksi. Sehingga interaksi ion Pb^{2+} dengan atom O pada gugus hidroksil terganggu dan ion Pb^{2+} yang dapat diserap adsorben berkurang.

b. Persentasi Penyerapan Ion Logam Pb Terhadap Variasi Waktu Kontak

Penentuan efektivitas penyerapan dilakukan untuk mengetahui batas kemampuan nanopartikel MnO_2 dalam penyerapan logam timbal (Pb) pada variasi waktu kontak pada pH 3.



Gambar IV.12 Grafik hubungan antara waktu kontak dan efektivitas penyerapan

Berdasarkan gambar IV.12 terlihat bahwa persentase Pb^{2+} teradsorpsi meningkat dan menurun seiring dengan bertambahnya waktu kontak. Hal ini terjadi karena peningkatan waktu kontak dapat dianggap sebagai proses ketidakstabilan pada permukaan adsorben. Hal yang dapat mempengaruhi efektivitas penyerapan adalah sifat adsorben, berdasarkan penelitian (Setiawati

dkk, 2015) bahwa adsorben yang memiliki nanometer yang permukaannya besar dapat mengadsorpsi ion logam lebih banyak sehingga luas permukaan kontak adsorben berbanding lurus dengan daya serap adsorben.

Pada waktu kontak 60-120 menit terjadi peningkatan efektivitas penyerapan logam Pb, akan tetapi setelah itu efektivitasnya menurun. Efektivitas penyerapan terbesar diperoleh waktu kontak 120 menit sebesar 99,386%. Hal ini sesuai dengan penelitian (Mellisani, 2013) bahwa penyerapan Pb^{2+} terjadi karena adanya sisi aktif MnO_2 sebagai oksidator yang mengoksidasi Pb^{2+} menjadi Pb^{3+} . Penurunan adsorpsi terjadi pada waktu kontak 150 menit yaitu 97,5% dan terus turun pada waktu kontak 180 menit yaitu 97,052%. Penambahan waktu kontak tersebut memberikan nilai efektivitas penurunan yang tidak jauh berbeda meskipun hasilnya menunjukkan penurunan kandungan logam Pb yang lebih rendah. Adanya penambahan waktu kontak menyebabkan MnO_2 menjadi jenuh karena semua oksidator MnO_2 telah mengalami reduksi menjadi Mn^{3+} sehingga tidak mampu lagi untuk melakukan proses oksidasi. Perubahan tersebut dapat dilihat dari reaksi berikut:



Hal ini sesuai dengan penelitian (Fajrianti, 2016) yang menyatakan bahwa adsorben dan adsorbat yang sudah mencapai kesetimbangan akan menurunkan laju adsorpsi terhadap ion.

BAB V

PENUTUP

A. Kesimpulan

Berdasarkan hasil penelitian dapat disimpulkan:

1. Nanopartikel mangan dioksida (MnO_2) dapat disintesis secara sonokimia dan menghasilkan serbuk berwarna coklat kehitaman dengan ukuran maksimum 11,86 nm menggunakan waktu 180 menit pada suhu 65°C . Suhu dan waktu sonokimia berpengaruh signifikan terhadap perubahan serbuk dan ukuran diameter nanopartikel.
2. Karakterisasi nanopartikel MnO_2 dengan ukuran diameter rata-rata optimum partikel 11,86 nm diperoleh puncak utama $2\theta = 36,94$ dan indeks Miller 101 yang menunjukkan bentuk tetragonal. Mempunyai morfologi amorf dan masih teraglomerasi pada perbesaran 400.000x dengan skala 20 nm.
3. Efektivitas adsorpsi nanopartikel mangan dioksida (MnO_2) dipengaruhi oleh pH dan waktu kontak. Persentase Pb^{2+} teradsorpsi mencapai optimal sebesar 99,386% pada pH 3 dengan waktu kontak 120 menit dan konsentrasi awal ion Pb^{2+} 50 mg/L.

B. Saran

Saran untuk penelitian selanjutnya adalah perlu dilakukan sintesis secara sonokimia dengan menggunakan temperatur di atas 100°C agar mencegah aglomerasi pada sampel.

DAFTAR PUSTAKA

- Al-Qur'an Al-Karim. Kementrian Agama RI, 2015.
- Abdullah, Mikrajuddin dan Khairurrijal. Review: Karakteristik Nanomaterial. *Jurnal Nanosains Dan Nanoteknologi* (2009).
- Abdullah, dkk. "Review: Sintesis Nanopartikel", *Jurnal Nanosains & Nanoteknologi* 1, no. 2 (2008): h. 33-57.
- Abulizi, dkk. *Synthesis Of Mno2 Nanoparticles From Sonochemical Reduction Of MnO4 In Water Under Different pH Conditions*. 21 (2014).
- Adli, Hadyan."Pengolahan Limbah Cair Laboratorium dengan Metode Presipitas dan Adsorpsi untuk Penurunan Kadar Logam Berat". *Skripsi*, Depok: Fakultas Matematika dan Ilmu Pengetahuan Alam, 2012.
- Anggraeni, Nuha Desi. "Analisa SEM (*Scanning Electron Microscopy*) dalam Pemanataan Proses Oksidasi Magnetite Menjadi Hematite". *Seminar Nasional-VII Rekayasa dan Aplikasi Teknik Mesin di Industri*, ISSN : 1693-3168 (2008).
- Askari."Karakterisasi Dua Tipe Endapan Mangan di Daerah Singingi Kabupaten Kuantan Singingi Provinsi Riau". *Jurnal Ilmiah MTG* 05, no. 02 (2012).
- Atkins, P.W.. *Kimia Fisika. Jilid 2. Edisi Keempat*. Jakarta: Erlangga. 1997.
- Bahanan, Ridho. "Pengaruh Waktu Sonokimia Terhadap Ukuran Kristal Kalsium Karbonat (CaCO₃)" *Skripsi*. Jakarta: UIN Syarif Hidayatullah, 2010: h. 1-77.
- Basset, J dkk. *Vogel's Textbook of Quantitative Inorganic Analysis Including Elementary Instrumental Analysis*. Terj. A. Hadyana dan L. Setiana. Buku Ajar Vogel Kimia Analisa Kuantitatif Anorganik. Jakarta: EGC. 1994.
- Darmono. *Logam dalam Sistem Biologi Mahluk Hidup*. Jakarta: UI-Press. 2001.
- Delmifian dan Astuti. "Pengaruh Sonokasi Terhadap Struktur dan Morfologi Nanopartikel Magnetik yang Disintesis dengan Metode Kopresipitfas" *Jurna Fisika* 09, no. 3. 2013.
- Dogra, S.K. *Physical Chemistry Through Problems*, terj. Umar Mansyur, *Kimia Fisik dan Soal-Soal*. Jakarta : UI-Press, 2013.
- Egerton, R.F. *Physical Principles of Electron Microscopy: An Introduction do TEM, SEM And AEM*. Springer Science + Business: New York, 2010.
- Fajaroh, dkk."Sintesis Nanopartikel Magnetite dengan Metode Elektrokimia Sederhana". *Jurnal Nanosains dan Teknologi*, ISSN 1979-0880 (2009).
- Firnando dan Astuti. "Pengaruh Suhu Pada Proses Sonikasi Terhadap Morfologi Partikel Dan Kristalinitas Nanopartikel Fe₃O₄" *Jurnal fisika* 04, no. 01 (2015).
- Ghozali, A.I. "Fotodegradasi Zat Warna Remazol Red Menggunakan Katalis α -Fe₂O₃/Fe₃O₄ Core Shel Nanostruktur". *Skripsi*. Semarang: Jurusan Kimia FMIPA Universitas Negeri Semarang. 2010.

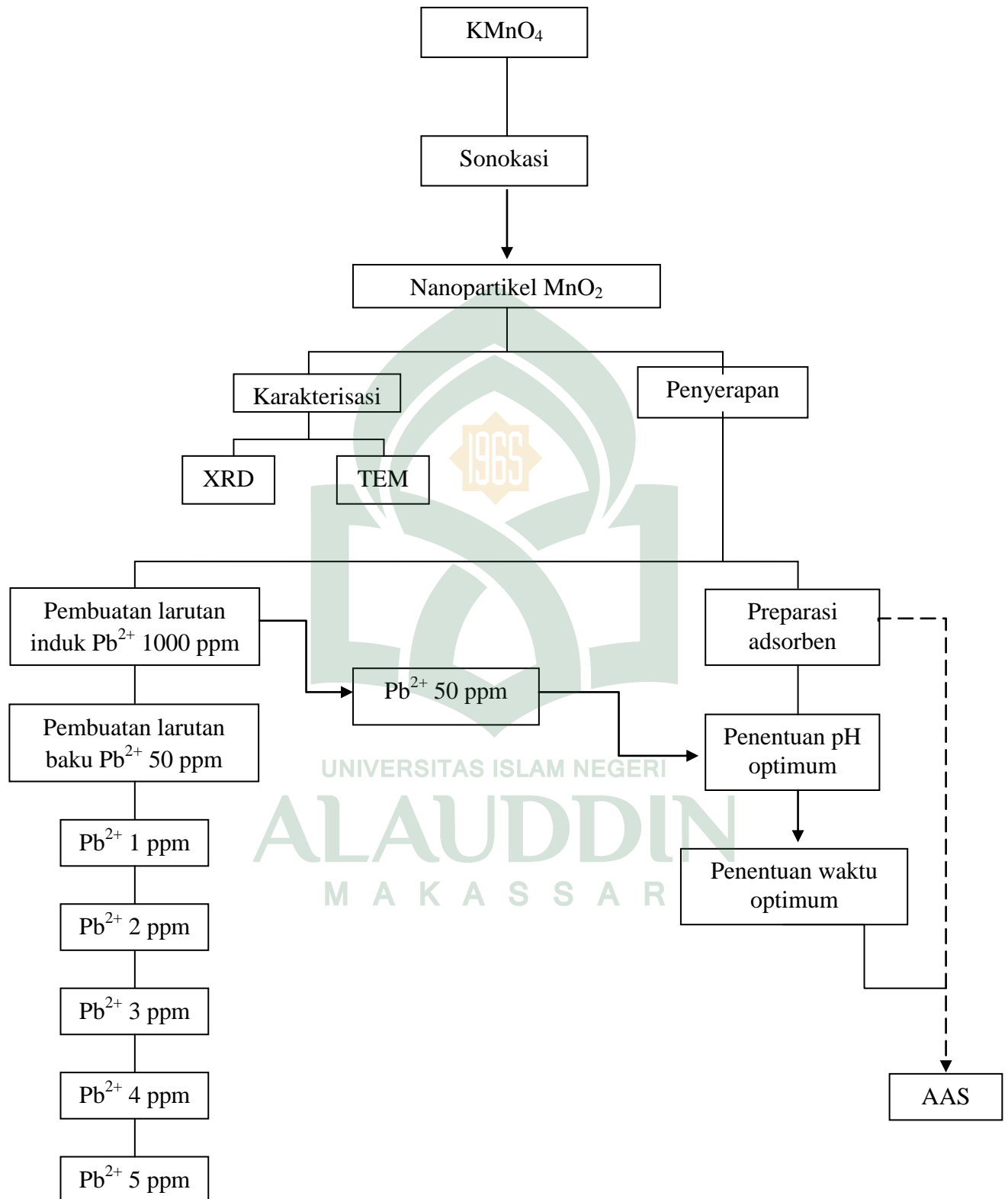
- Harahap, Yosmarina. "Preparasi Dan Karakteristik Nanopartikel Kitosan Dengan Variasi Asam". *Skripsi*. Depok: Fakultas Teknik Program Studi Teknik Kimia, 2012.
- Irvantino, Brian. "Preparasi Katalis Ni/Zeolit Alam Dengan Metode Sonokimia Untuk Perengkahan Katalitik Polopropilen Dan Polietilen". *Skripsi*. Semarang: Jurusan Kmia Fakultas Matematika dan Ilmu Pengetahuan Alam. 2013.
- Kementrian Agama RI. *Al-Quran dan Terjemahannya Special For Woman*. Bandung: PT. Sygma Examedi Arkanleema, 2009.
- Maylani, Shinta Amanda. "Preparasi Nanopartikel Fe_3O_4 (Magnetit) serta Aplikasinya sebagai Adsorben Ion Logam Kadmium". *Skripsi*. Semarang: Jurusan Kimia Fakultas Sains dan Teknologi(2015).
- Mellisani, Gusrizal dan Wahyuni. "Penurunan Kandungan Besi (II) Oleh Pasir Terlapis Mangan Dioksida (MnO_2)" *Jurnal 02*, no. 03 (2013).
- Ningsih, Sherly Kasuma Warda. "Pengaruh Aditif Pada Sintesis Nanopartikel Mn_2O_3 Melalui Proses Sol-Gel" *Jurnal Kimia 07*, no.01 (2013).
- Palar, H. *Pencemaran dan Toksikologi Logam Berat*. Jakarta: Rineka Cipta. 2008.
- Pang, Y., Zeng, G., Tang, L., Zhang, Y., Liu, Y., Lei, X., Li, Z. & Xie, G. "PEI-Grafted Magnetic Porous Powder for Highly Effective Adsorption of Heavy Metals Ions". *Journal of Science Direct 281*, no. 1 (2011) hal. 278-284.
- Perdana, dkk. "Sintesis Nanopartikel Fe_3O_4 dengan Template PEG-1000 dan Karakterisasi Sifat Magnetiknya". *Jurnal Material dan Energi Indonesia 01*, no. 01 (2011).
- Raj dkk. "Sonochemically Synthesized MnO_2 Nanoparticles As Electrode Material For Supercapacitors" 21 (2014).
- Ridwan dan Azwar Manaf. "Pengembangan Nanopartikel Untuk pengolahan Limbah Cair", *Jurnal Sains Materi Indonesia*, ISSN: 1411-1098 (2009).
- Riwayati, I. "Analisis Resiko Pengaruh Partikel Nano Terhadap Kesehatan Manusia", *Jurnal Momentum 3*, no. 2 (2007).
- Riyanto. *Elektrokimia dan Aplikasinya*. Yogyakarta: Graha Ilmu, 2013.
- Rosanti dan Puryanti. "Pengaruh Temperatur Terhadap Ukuran Partikel Fe_3O_4 Dengan Template Peg-2000 Menggunakan Metode Kopresipitasi" *Jurnal Ilmu Fisika 07*, no. 01 (2015).
- Sari Dewi. "Sintesis Nanomaterial Mangan Oksida dengan Metode Bebas Pelarut" *Jurnal Kimia Valensi 01*, no. 02 (2013).
- Shihab, M. Quraish. *Tafsir Al Mishbah: Pesan dan Kesan Keserasian Al-Qur'an* Jakarta: Lentera Hati, 2009.
- Sukardjo. *Kimia Fisika*. Yogyakarta: Bina Aksara. 2002.
- Susanti, Sri. "Kajian Struktur Kristal Nanopartikel Magnetite (Fe_3O_4) sebagai Fungsi Temperatur dari Hasil Sintesis dengan Menggunakan Metode Sonokimia". *Skripsi*. Yogyakarta: Fakultas Sains dan Teknologi. 2014.

Setyaningtyas, T., dan S. Sriyanti. Pengaruh Pemanasan Tanah Diatome Terhadap Kemampuan Adsorpsi Cd(II) dalam Pelarut Air. *Jurnal Kimia Sains dan Aplikasi* 6, no. 3 (2003).

Viscarini, dkk. "Sintesa Partikel MnO₂ dengan Teknik Elektrokimia dalam Sel Membran". *Jurnal Teknik Pomits* 2, no. 1 (2014).

Widowati, Wahyu dkk. *Efek Toksik Logam*. Yogyakarta: ANDI, 2008.

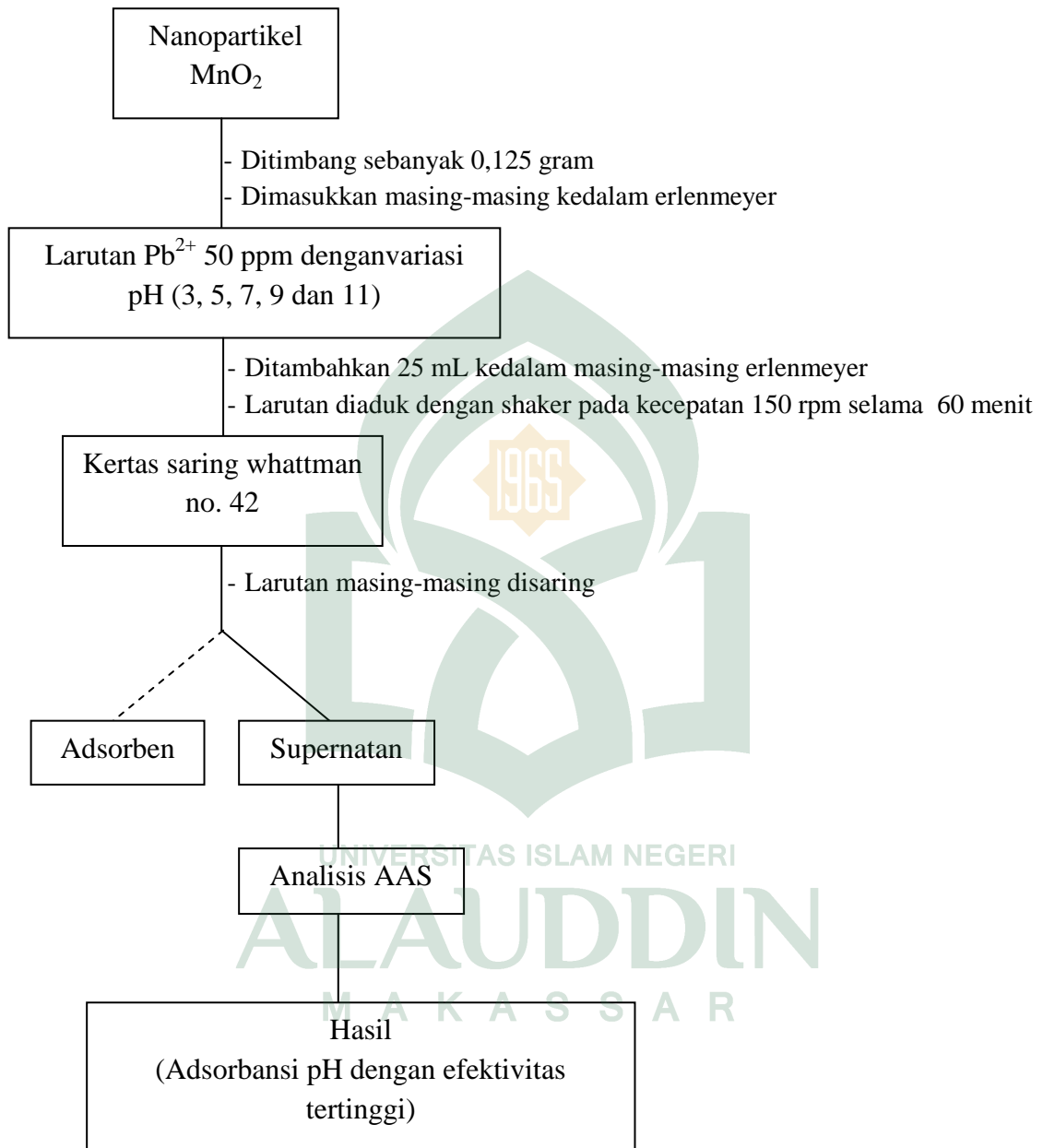


Lampiran 1: Skema Penelitian

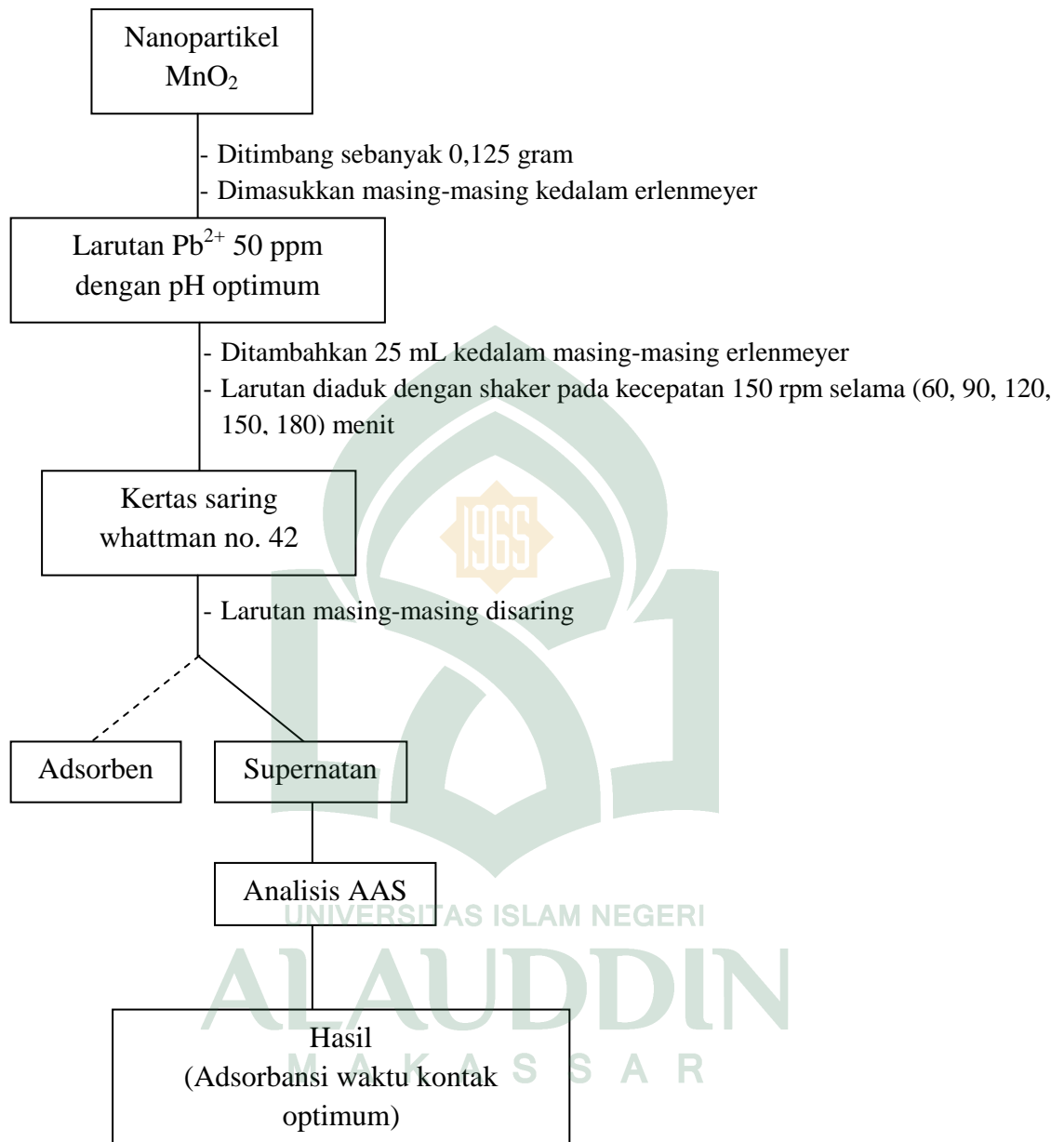
Lampiran 2: Skema Kerja

a. Sintesis Nanopartikel MnO₂

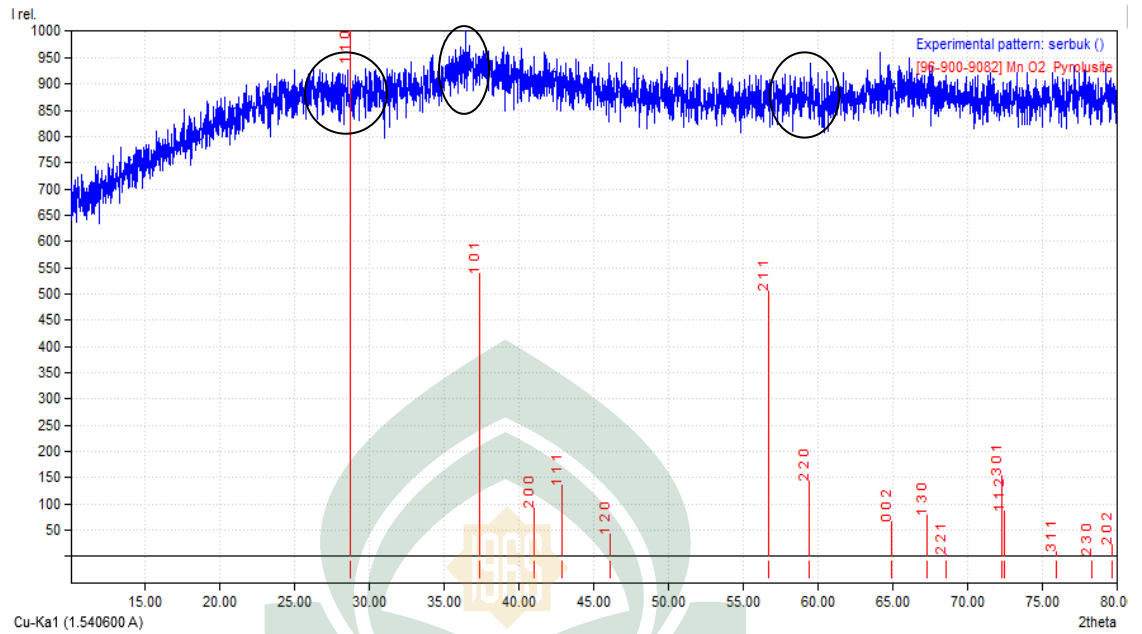


b. Uji Adsorbsivitas Logam Pb**1. Penentuan pH**

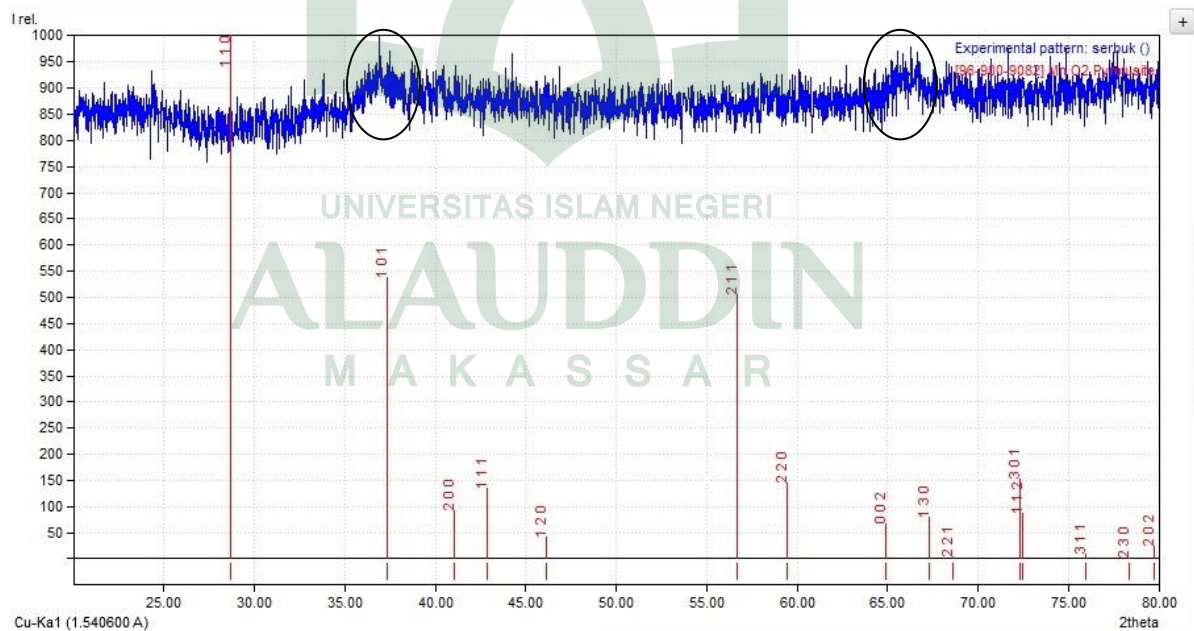
2. Penentuan



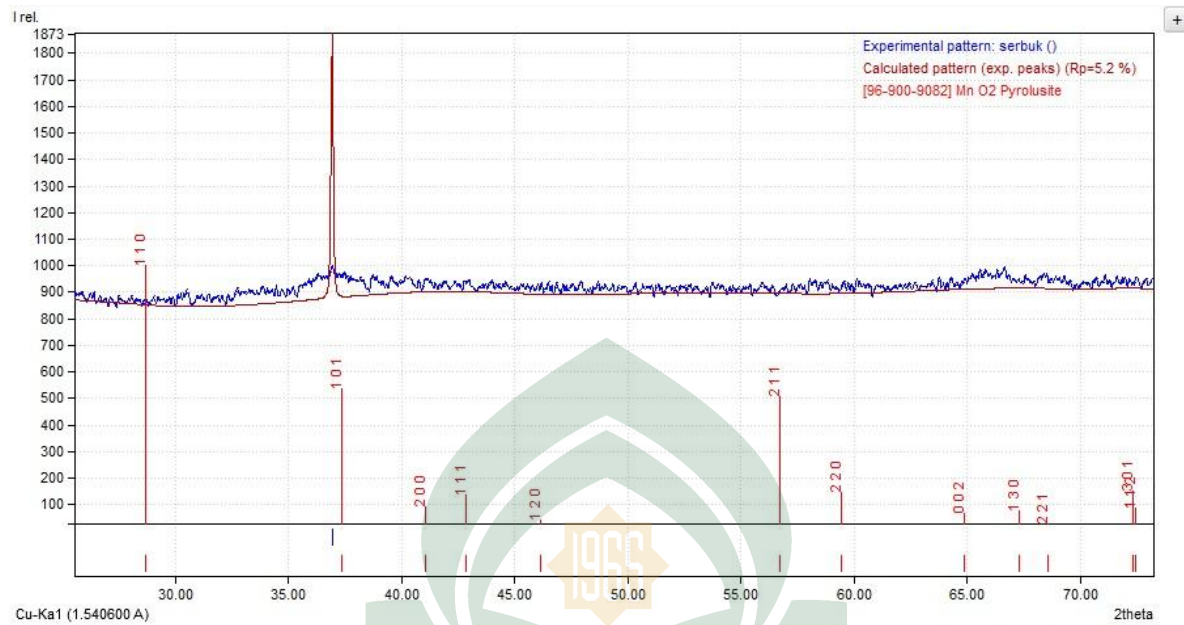
Lampiran 3: Analisis XRD



Difraktogram waktu 120 menit pada suhu 50°C



Difraktogram waktu 180 menit pada suhu 65°C



Difraktogram waktu 240 menit pada suhu 80°C

Entry # 96-900-9082

Phase classification

Name	
Mineral Name	Pyrolusite
Formula	MnO ₂
I/Icor	4.690000
Sample Name	9009081
Quality	C (calculated)

References

Publication

Bibliography Wyckoff R. W. G., "Second edition. Interscience Publishers, New York, New York Note: beta phase of MnO₂, rutile structure", *Crystal Structures* **1**, 239-444 (1963)

Origin of data

Source of entry [COD \(Crystallography Open Database\)](#)

Link to orig. entry [9009081](#)

Crystal structure

Crystallographic data

Space group P 4₂/m n m (136)

Crystal system tetragonal

Cell parameters a= 4.3960 Å c= 2.8710 Å

Atom coordinates	Element	Oxid.	x	y	z	Bi	Focc
	Mn		0.000	0.000	0.000	1.000000	1.000000
	O		0.302	0.302	0.000	1.000000	1.000000

Diffraction data

Diffraction lines

d [Å]	Int.	h	k	l	Mult.
3.1084	1000.0	1	1	0	4
2.4038	538.0	1	0	1	8
2.1980	91.0	2	0	0	4
2.1091	135.0	1	1	1	8
1.9660	41.4	1	2	0	8
1.6221	506.2	2	1	1	16
1.5542	144.3	2	2	0	4
1.4355	65.9	0	0	2	2
1.3901	78.9	1	3	0	8
1.3668	3.0	2	2	1	8
1.3052	152.8	3	0	1	8
1.3032	86.4	1	1	2	8
1.2512	7.8	3	1	1	16
1.2192	1.4	2	3	0	8
1.2019	22.8	2	0	2	8
1.1593	6.5	2	1	2	16
1.1222	42.4	3	2	1	16
1.0990	24.5	4	0	0	4
1.0662	5.7	1	4	0	8
1.0545	55.6	2	2	2	8
1.0361	27.4	3	3	0	4

Experimental**Physical Properties****Calc. density** 5.20300 g/cm³**Remarks****Remarks****Comments**

- Diffraction pattern calculated by Match!.
- I/I_{cor} calculated by Match!.



Lampiran 4: Perhitungan Diameter Nanometer dengan waktu 120 menit suhu 50°C

a. Data analisis XRD

Tabel 2. Data XRD Nanopartikel MnO₂ dengan waktu 70 menit pada suhu 50°C

No	Theta (2θ) (deg)	FWHM(inst)
1	36,6200	0
2	37,6400	1,26400
3	35,4400	1,08000

Keterangan:

Theta (θ) : sudut Bragg

FWHM(inst) : lebar puncak difraksif sampel

b. Analisis data

Persamaan Scherrer :

$$D = \frac{k \lambda}{\beta \cos \theta}$$

K = 0,98 tetapan Bragg

λ = 1,5406 Å

β = nilai FWHM

θ = sudut puncak

1. Data 2

$$D = \frac{k \lambda}{\beta \cos \theta}$$

$$D = \frac{0,98 \times 1,5406 \text{ \AA}}{\sqrt{(FWHM_{inst})^2 - (FWHM_{matc h})^2} \cos \theta}$$

$$D = \frac{1,5097 \text{ \AA}}{\sqrt{(1,26400)^2 - (0)^2} \cos 18,82}$$

$$D = \frac{1,5097 \text{ \AA}}{1,1954}$$

$$D = 1,2698 \text{ \AA} = 12,61 \text{ nm}$$

2. Data 3

$$D = \frac{k \lambda}{\beta \cos \theta}$$

$$D = \frac{0,98 \times 1,5406 \text{ \AA}}{\sqrt{(FWHM_{inst})^2 - (FWHM_{matc h})^2} \cos \theta}$$

$$D = \frac{1,5097 \text{ \AA}}{\sqrt{(1,08000)^2 - (0)^2} \cos 17,72}$$

$$D = \frac{1,5097 \text{ \AA}}{1,0287}$$

$$D = 1,4675 \text{ \AA} = 14,67 \text{ nm}$$

c. Diameter rata-rata

$$\begin{aligned} \text{Drata-rata} &= \frac{12,61 + 14,67}{2} \\ &= 13,64 \text{ nm} \end{aligned}$$

Lampiran 5: Perhitungan Diameter Nanometer dengan waktu 180 menit suhu 65°C

a. Data analisis XRD

Tabel 1. Data XRD Nanopartikel MnO₂ dengan waktu 180 menit pada suhu 65°C

No	Theta (2θ) (deg)	FWHM(inst)
1	36,9400	1,80000
2	36,3600	1,52660
3	65,7600	1,10000

Keterangan:

Theta (θ) : sudut Bragg

FWHM(inst) : lebar puncak difraksif sampel

b. Analisis data

Persamaan Scherrer :

$$D = \frac{k \lambda}{\beta \cos \theta}$$

K = 0,98 tetapan Bragg

λ = 1,5406 Å

β = nilai FWHM

θ = sudut puncak

1. Data 1

$$D = \frac{k \lambda}{\beta \cos \theta}$$

$$D = \frac{0,98 \times 1,5406 \text{ \AA}}{\sqrt{(FWHM_{inst})^2 - (FWHM_{matc h})^2} \cos \theta}$$

$$D = \frac{1,5097 \text{ \AA}}{\sqrt{(1,80000)^2 - (0)^2} \cos 18,47}$$

$$D = \frac{1,5097 \text{ \AA}}{1,7072}$$

$$D = 0,884 \text{ \AA} = 8,84 \text{ nm}$$

2. Data 2

$$D = \frac{k \lambda}{\beta \cos \theta}$$

$$D = \frac{0,98 \times 1,5406 \text{ \AA}}{\sqrt{(FWHM_{inst})^2 - (FWHM_{matc h})^2} \cos \theta}$$

$$D = \frac{1,5097 \text{ \AA}}{\sqrt{(1,52660)^2 - (0)^2} \cos 18,18}$$

$$D = \frac{1,5097 \text{ \AA}}{1,4503}$$

$$D = 1,040 \text{ \AA} = 10,40 \text{ nm}$$

3. Data 3

$$D = \frac{k \lambda}{\beta \cos \theta}$$

$$D = \frac{0,98 \times 1,5406 \text{ \AA}}{\sqrt{(FWHM_{inst})^2 - (FWHM_{matc h})^2} \cos \theta}$$

$$D = \frac{1,5097 \text{ \AA}}{\sqrt{(1,10000)^2 - (0)^2} \cos 32,88}$$

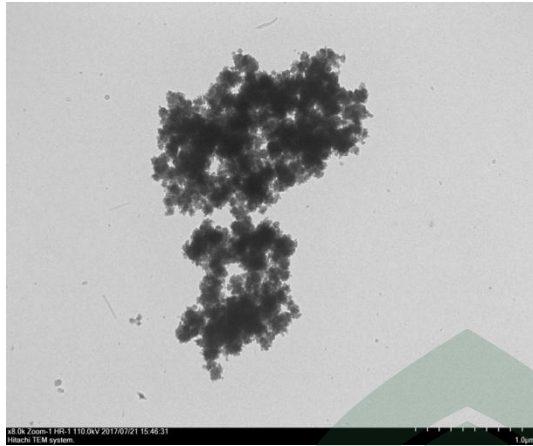
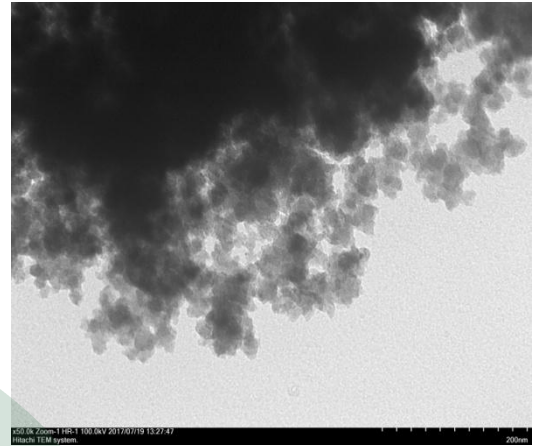
$$D = \frac{1,5097 \text{ \AA}}{0,9237}$$

$$D = 1,634 \text{ \AA} = 16,34 \text{ nm}$$

c. Diameter rata-rata

$$D_{rata-rata} = \frac{8,84 + 10,40 + 16,4}{3}$$

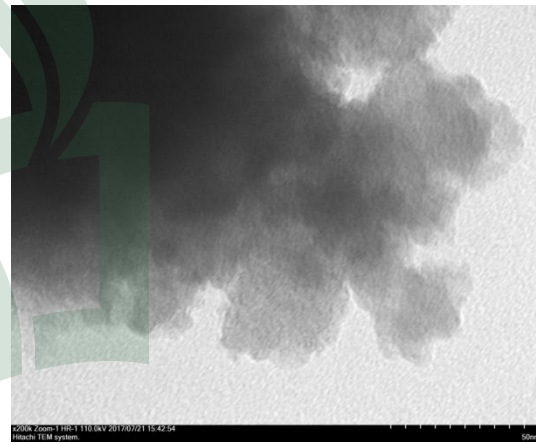
$$= 11,86 \text{ nm}$$

Lampiran 6: Analisa TEM (*Transmission Electron Microscopy*)Skala 1 μm 

Skala 200 nm



Skala 100 nm



Skala 50 nm



Skala 20 nm



Skala 20 nm

Lampiran 7: Pembuatan Larutan

1. Pembuatan larutan induk timbal (Pb) 1000 ppm

$$\begin{aligned} \text{mg} &= \frac{\text{ppm} \times v \times Mr \text{ Pb(NO}_3)_2}{1000 \frac{\text{mg}}{\text{L}} \times 1 \text{ L} \times 331,2 \text{ gr/mol}} \\ \text{mg} &= \frac{331200}{207,2} \\ \text{mg} &= 1598,455 \\ &= 1,5984 \text{ gram} \end{aligned}$$

Menimbang 1,5984 gram padatan $\text{Pb(NO}_3)_2$ ke dalam labu takar 1000mL, kemudian menghimpitkan dengan aquades hingga tanda batas.

2. Pembuatan larutan baku timbal (Pb) 100 ppm

$$\begin{aligned} V_1 \times M_1 &= V_2 \times M_2 \\ V_1 \times 1000 \text{ ppm} &= 100 \text{ mL} \times 100 \text{ ppm} \\ V_1 &= \frac{10000 \text{ mL} \cdot \text{ppm}}{1000 \text{ ppm}} \\ V_1 &= 10 \text{ mL} \end{aligned}$$

Memipet 10 mL larutan induk Pb^{2+} ke dalam labu takar 100 mL, kemudian menghimpitkan dengan aquades hingga tanda batas.

3. Pembuatan larutan uji Pb^{2+} 50 ppm

$$\begin{aligned} V_1 \times M_1 &= V_2 \times M_2 \\ V_1 \times 1000 \text{ ppm} &= 100 \text{ mL} \times 50 \text{ ppm} \\ V_1 &= \frac{5000 \text{ mL} \cdot \text{ppm}}{1000 \text{ ppm}} \\ V_1 &= 5 \text{ mL} \end{aligned}$$

Memipet 5 mL larutan induk Pb^{2+} ke dalam labu takar 50 mL, kemudian menghimpitkan dengan aquades hingga tanda batas.

4. Pembuatan larutan standar Pb 1, 2, 3, 4 dan 5 ppm

a. Larutan standar 1 ppm

$$\begin{aligned}
 V_1 \times M_1 &= V_2 \times M_2 \\
 V_1 \times 50 \text{ ppm} &= 50 \text{ mL} \times 1 \text{ ppm} \\
 V_1 &= \frac{50 \text{ mL} \cdot \text{ppm}}{50 \text{ ppm}} \\
 V_1 &= 1 \text{ mL}
 \end{aligned}$$

1 mL larutan induk diencerkan dengan aquades ke dalam labu takar 50 mL.

b. Larutan standar 2 ppm

$$\begin{aligned}
 V_1 \times M_1 &= V_2 \times M_2 \\
 V_1 \times 50 \text{ ppm} &= 50 \text{ mL} \times 2 \text{ ppm} \\
 V_1 &= \frac{100 \text{ mL} \cdot \text{ppm}}{50 \text{ ppm}} \\
 V_1 &= 2 \text{ mL}
 \end{aligned}$$

2 mL larutan induk diencerkan dengan aquades ke dalam labu takar 50 mL.

c. Larutan standar 3 ppm

$$\begin{aligned}
 V_1 \times M_1 &= V_2 \times M_2 \\
 V_1 \times 50 \text{ ppm} &= 50 \text{ mL} \times 3 \text{ ppm} \\
 V_1 &= \frac{150 \text{ mL} \cdot \text{ppm}}{50 \text{ ppm}} \\
 V_1 &= 3 \text{ mL}
 \end{aligned}$$

3 mL larutan induk diencerkan dengan aquades ke dalam labu takar 50 mL.

d. Larutan standar 4 ppm

$$\begin{aligned}
 V_1 \times M_1 &= V_2 \times M_2 \\
 V_1 \times 50 \text{ ppm} &= 50 \text{ mL} \times 4 \text{ ppm} \\
 V_1 &= \frac{200 \text{ mL} \cdot \text{ppm}}{50 \text{ ppm}} \\
 V_1 &= 4 \text{ mL}
 \end{aligned}$$

4 mL larutan induk diencerkan dengan aquades ke dalam labu takar 50 mL.

e. Larutan standar 5 ppm

$$\begin{aligned}V_1 \times M_1 &= V_2 \times M_2 \\V_1 \times 50 \text{ ppm} &= 50 \text{ mL} \times 5 \text{ ppm} \\V_1 &= \frac{250 \text{ mL} \cdot \text{ppm}}{50 \text{ ppm}} \\V_1 &= 5 \text{ mL}\end{aligned}$$

5 mL larutan induk diencerkan dengan aquades ke dalam labu takar 50 mL.



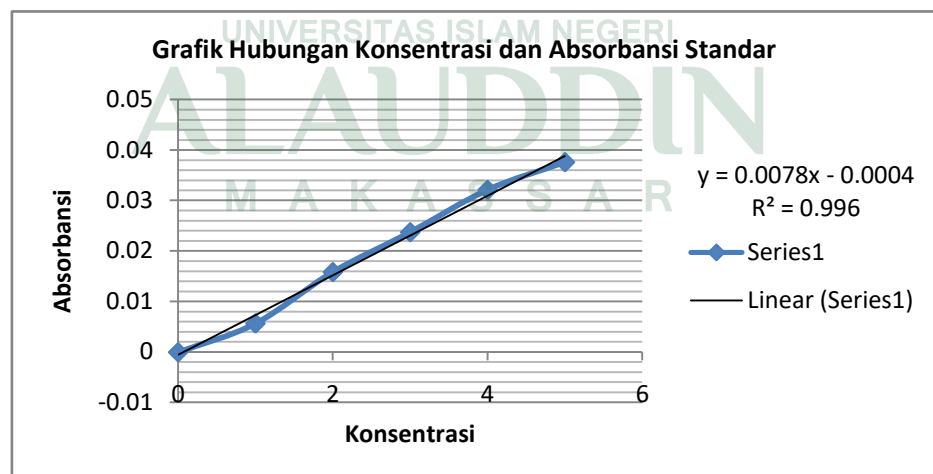
Lampiran 8: Data Standarisasi

1. Tabel

Konsentrasi (x)	Absorbansi (y)	x^2	y^2	$x \cdot y$
0	-0.0001	0	0.00000001	0
1	0.0056	1	0.00003136	0.0056
2	0.0158	4	0.00024964	0.0316
3	0.0237	9	0.00056169	0.0711
4	0.0321	16	0.00103041	0.1284
5	0.0376	25	0.00141376	0.1880
$\Sigma =$	0.1147	55	0.00328687	0.4247

2. Grafik

1



3. Persamaan Garis Linear

$$y = bx + a$$

Nilai b

$$\begin{aligned} b &= \frac{n \sum(xy) - \sum x \sum y}{n \sum x^2 - (\sum x)^2} \\ b &= \frac{6(0,4247) - (15)(0,1147)}{6(5) - (15)^2} \\ b &= \frac{2,5482 - 1,7205}{30 - 225} \\ b &= \frac{0,8277}{-195} \\ b &= -0,0042446 \\ b &= -0,0042 \end{aligned}$$

Nilai a

$$\begin{aligned} a &= y_{\text{rata-rata}} - b x_{\text{rata-rata}} \\ a &= 0,0191 - 0,0042(2,5) \\ a &= 0,0191 - 0,0105 \\ a &= 0,0086 \end{aligned}$$

Jadi, persamaan linear yang diperoleh adalah :

$$y = a + bx$$

$$y = 0,0086 - 0,0042x$$

Keterangan :

y = absorbansi sampel

x = konsentrasi timbal (Pb) dalam sampel

$$\begin{aligned}
 R^2 &= \frac{n\sum(xy) - \sum x \sum y}{\sqrt{((n\sum x^2 - (\sum x)^2)(n\sum y^2 - (\sum y)^2))}} \\
 &= \frac{6(0,4247) - (15)(0,1147)}{\sqrt{(6(5) - (15)^2)(6(0,00328687) - (0,1147)^2)}} \\
 &= \frac{2,5482 - 1,7205}{\sqrt{(330 - 225)(0,01972122 - 0,01315609)}} \\
 &= \frac{0,8277}{0,8302} \\
 &= 0,996
 \end{aligned}$$



Lampiran 9: Data Perhitungan Variasi

1. Data Perhitungan Variasi pH

a. Konsentrasi timbal (Pb) dalam sampel

$$y = a + bx$$

$$y = -0,0004 + 0,0078x$$

Keterangan :

y = absorbansi sampel

x = konsentrasi timbal (Pb) dalam sampel

No	pH	y	a	b	x
1	3	0,0022	-0,0004	0,0078	0,3333
2	5	0,1341	-0,0004	0,0078	17,2435
3	7	0,0343	-0,0004	0,0078	4,4487
4	9	0,0643	-0,0004	0,0078	8,2948
5	11	0,0941	-0,0004	0,0078	12,1153

b. Kapasitas Adsorpsi untuk setiap parameter pH

$$q_e = \frac{(C_o - C_e) V}{W_a}$$

Keterangan :

q_e = kapasitas adsorpsi

C_o = konsentrasi awal

C_e = konsentrasi akhir

V = volume larutan

W_a = berat nanopartikel

No	Waktu Kontak (menit)	C_o (mg/L)	C_e (mg/L)	W_a (gram)	q_e (mg/kg)
1	60	50	0,3333	0,125	$9,9334 \times 10^{-3}$
2	90	50	17,2435	0,125	$6,5453 \times 10^{-3}$
3	120	50	4,4487	0,125	$9,1102 \times 10^{-3}$
4	150	50	8,2948	0,125	$8,3410 \times 10^{-3}$
5	180	50	12,1153	0,125	$7,5769 \times 10^{-3}$

2. Data Perhitungan Variasi Waktu Kontak

a. Konsentrasi timbal (Pb) dalam sampel

$$y = a + bx$$

$$y = -0,0004 + 0,0078x$$

Keterangan :

y = absorbansi sampel

x = konsentrasi timbal (Pb) dalam sampel

No	pH	y	a	b	x
1	3	0,0039	-0,0004	0,0078	0,551
2	5	0,0028	-0,0004	0,0078	0,0410
3	7	0,0020	-0,0004	0,0078	4,307
4	9	0,0094	-0,0004	0,0078	1,256
5	11	0,0111	-0,0004	0,0078	1,474

b. Kapasitas Adsorpsi untuk setiap parameter waktu kontak

$$q_e = \frac{(C_o - C_e) V}{W_a}$$

Keterangan :

q_e = kapasitas adsorpsi

C_o = konsentrasi awal

C_e = konsentrasi akhir

V = volume larutan

W_a = berat nanopartikel

No	Waktu Kontak (menit)	C_o (mg/L)	C_e (mg/L)	W_a (gram)	q_e (mg/kg)
1	60	50	0,551	0,125	$9,889 \times 10^{-3}$
2	90	50	0,0410	0,125	$9,918 \times 10^{-3}$
3	120	50	4,307	0,125	$9,938 \times 10^{-3}$
4	150	50	1,256	0,125	$9,748 \times 10^{-3}$
5	180	50	1,474	0,125	$9,705 \times 10^{-3}$

Lampiran 10: Dokumentasi Penelitian

a. Sintesis Nanopartikel



Menimbang padatan KMnO_4



Menimbang padatan PEG 4000



Larutan KMnO_4 siap disonokasi



Proses Sonokasi



Larutan setelah disonokasi



Proses penyaringan endapan MnO_2



Endapan MnO_2 siap dioven



Serbuk MnO_2 setelah dioven

b. Uji adsorbtivitas logam Pb



Menimbang padatan $\text{Pb}(\text{NO}_3)_2$



Larutan induk Pb^{2+}



Larutan uji Pb^{2+}



Menimbang nanopartikel MnO_2



Proses pengadukan



Setelah pengadukan dan siap disaring



Setelah penyaringan dan siap dianalisis



Proses analisis menggunakan AAS

RIWAYAT HIDUP



Nama saya Andi Wahyuni Nur Utami, biasa dipanggil Ayu. Saya lahir di Ujung Pandang, 08 Desember 1995. Saya anak pertama dan terakhir dari pasangan Ir. Mukmin Th. Muda dan Ir. A. Chaerani. Ayah saya seorang wiraswasta, begitupun dengan ibu saya. Sejak kecil ibu saya selalu menasihati saya untuk tekun, selalu rajin beribadah, jujur dan baik terhadap sesama.

Saya pertama kali masuk jenjang pendidikan di tahun 2000 di Taman Kanak-Kanak Aisyah Makassar. Kemudian melanjutkan ke SDS Tonasa II Pangkep dari tahun 2002-2006. Sebelum ke SDS Tonasa II, saya memulai sekolah dasar di SDN Labuang Baji II Makassar dari tahun 2001-2002. Setelah lulus, saya melanjutkan pendidikan saya di SMPN 2 Pangkep dari tahun 2007-2009, lalu melanjutkannya lagi di SMAN 2 Pangkep dari 2010-2012. Pelajaran favorit saya adalah matematika, ketika saya duduk di kelas satu SMP hingga kelas dua SMA, saya gemar mengikuti lomba matematika. Pengalaman lomba saya pada saat itu sampai tingkat Provinsi. Saat ini saya sedang menyelesaikan pendidikan S1 saya di Universitas Islam Negeri Alauddin Makassar, Fakultas Sains dan Teknologi jurusan Kimia (Kimia Fisika)